

GNMEBA – Journées pédagogiques 2023  
Le MEB-FIB : état de l'art, principe et applications



## Principes physiques mis en jeu au FIB, influence des conditions opératoires

Emmanuel CADEL

Groupe de Physique des Matériaux  
UMR CNRS 6634

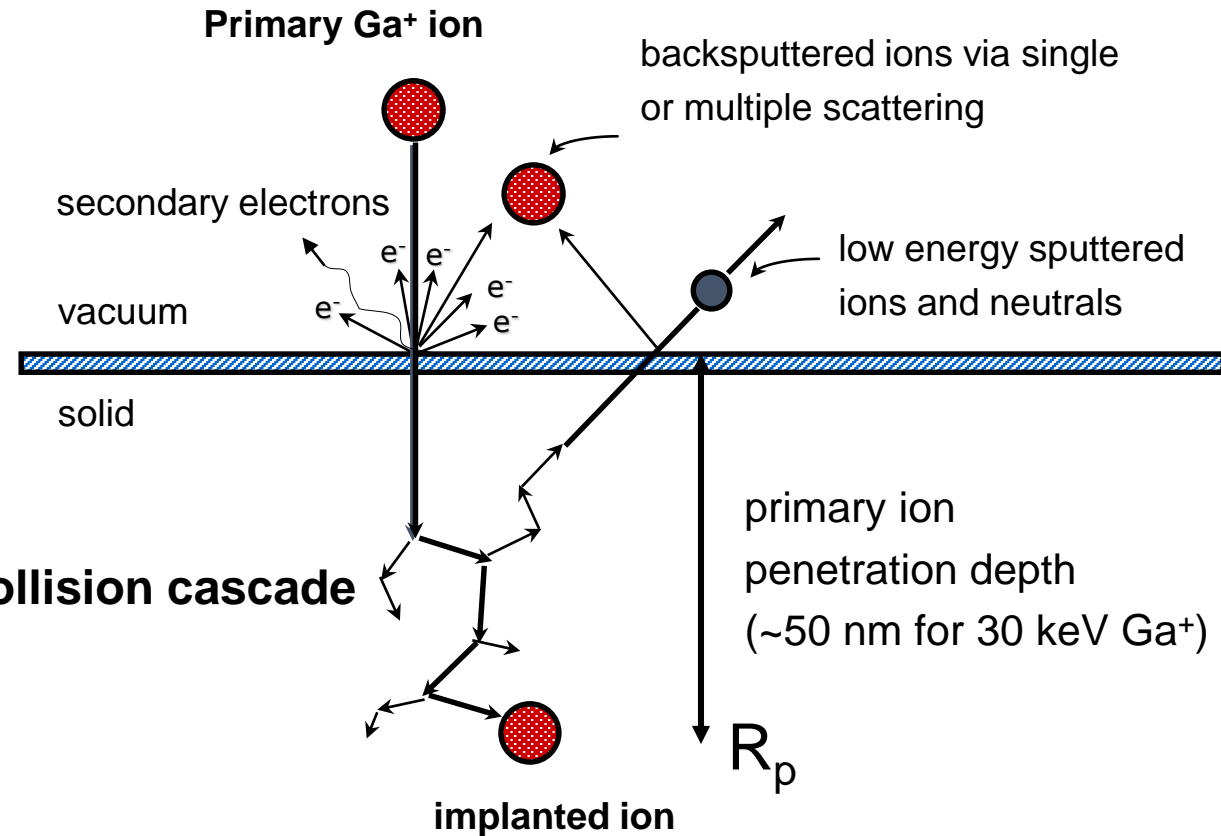


- Bref introduction du principe physique de l'interaction ion-matière
- Conditions opératoires :
  - Réglage du faisceau
  - Alignement du faisceau
  - Influence de l'angle d'incidence
  - Influence de la nature de la cible
  - Influence de la tension d'accélération
- Dommages et tentative de minimisation :
  - Baisser la tension d'accélération
  - Changer la nature de l'ion incident
  - Le mode Cryo FIB-SEM...



## Gamme d'énergie utilisée pendant l'usinage FIB : 0.5 - 30 keV

- Éjection d'un atome de surface si l'énergie cinétique reçu > énergie de liaison  
(Two-body billiard ball collision model)
- Diffusion de l'ion incident dans la cible  
(Rutherford Scattering)
- Perte d'énergie de l'ion et implantation
- Production de phonons
- Emission d'électrons secondaires (SE).



# Simulation of collision volume : SRIM (TRIM)

<http://www.srim.org>

The target is treated as an amorphous material.

1000 Ga-30 KeV in amorphous Si

Projected Range  $R_p = 28$  nm

Calculation Parameters

Backscattered Ions   
 Transmitted Ions   
 Vacancies/Ion

ION STATS		Range	Straggle
Longitudinal		280 A	99 A
Lateral Proj.		63 A	81 A
Radial		97 A	54 A

Type of Damage Calculation  
 Full Cascades

Stopping Power Version  
 SRIM-2003

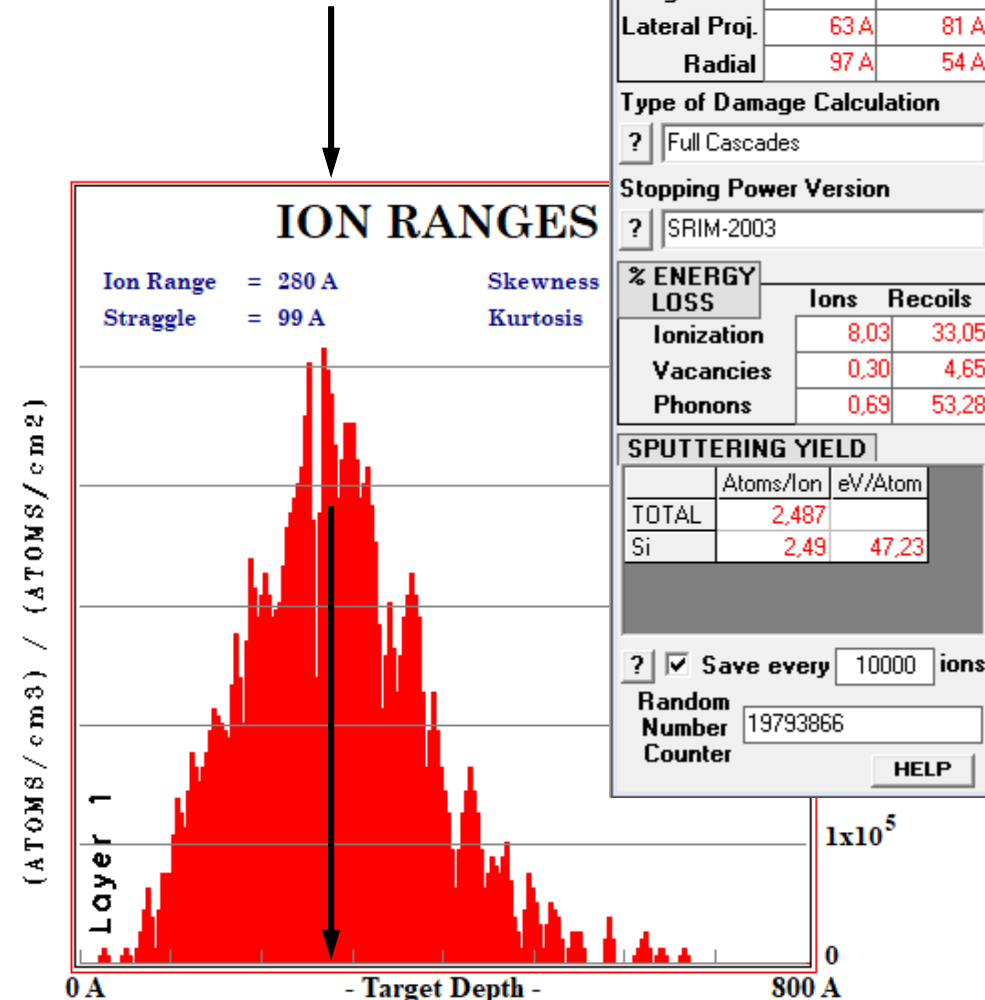
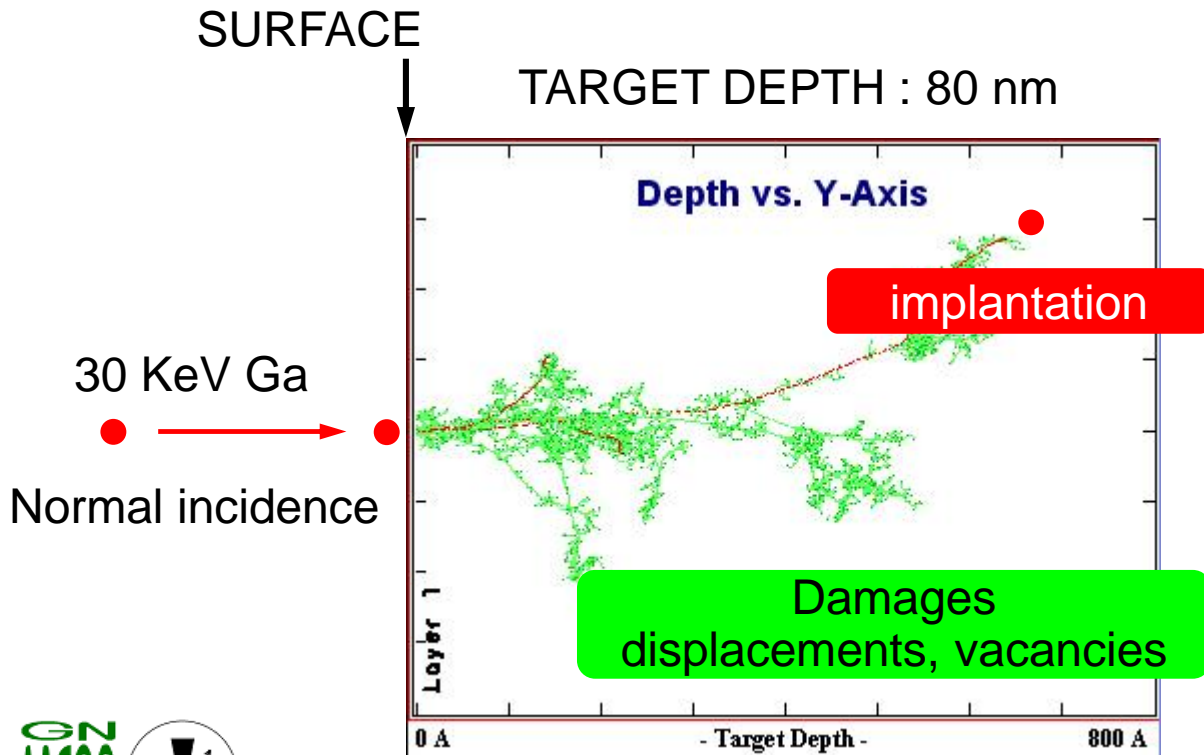
% ENERGY LOSS		Ions	Recoils
Ionization		8,03	33,05
Vacancies		0,30	4,65
Phonons		0,69	53,28

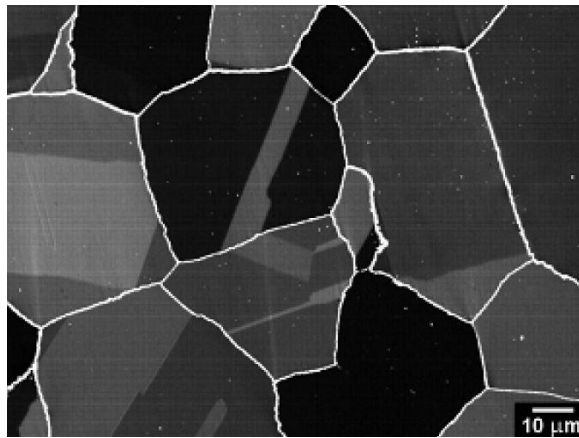
SPUTTERING YIELD

	Atoms/ion	eV/Atom
TOTAL	2,487	
Si	2,49	47,23

Save every  ions

Random Number Counter

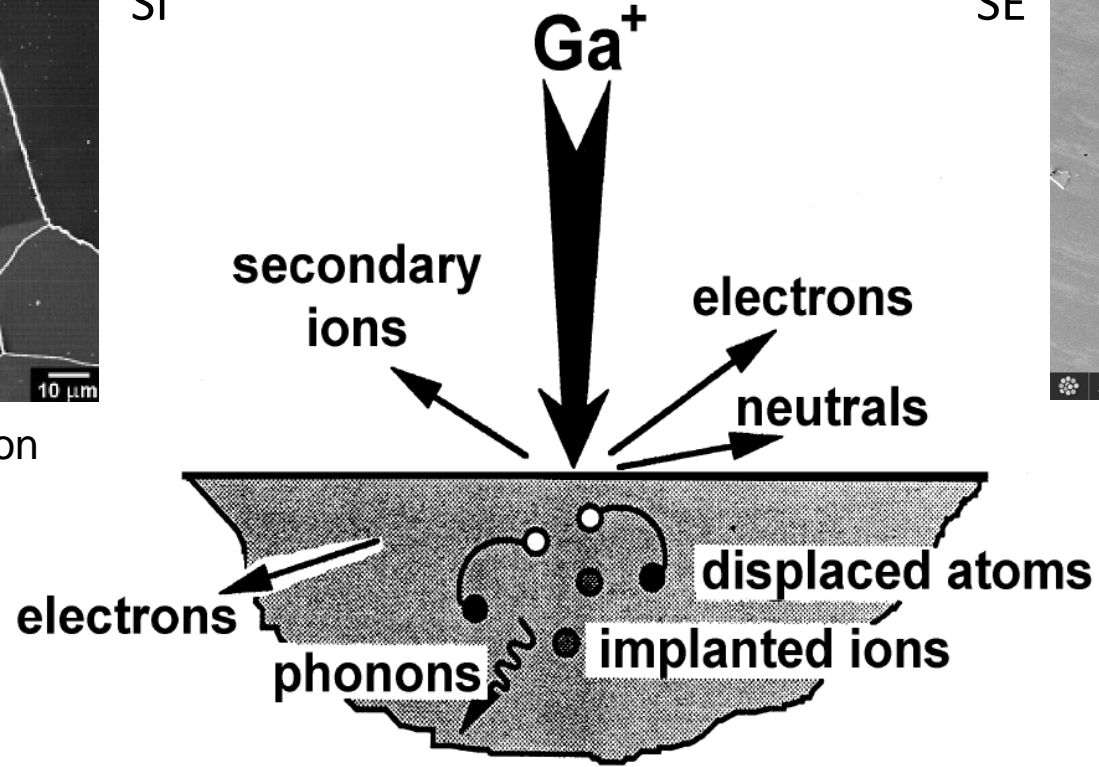
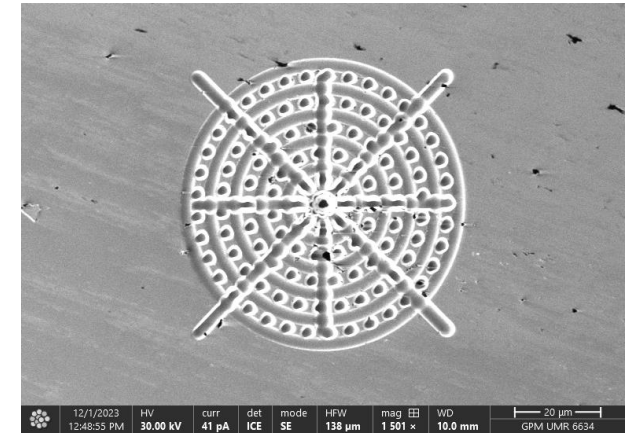




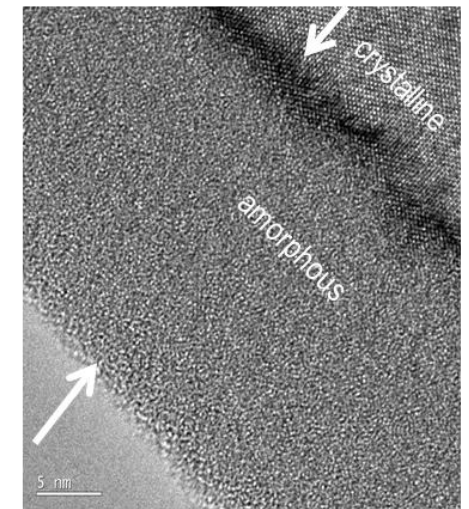
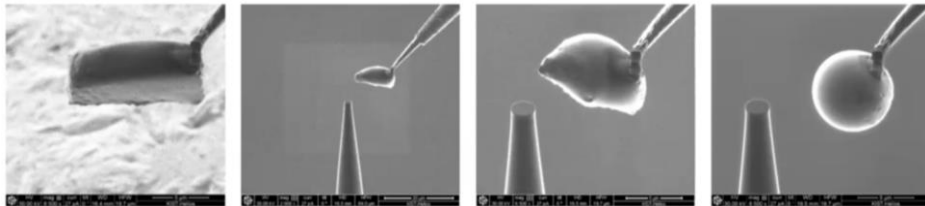
Si

Contraste de canalisation

SE



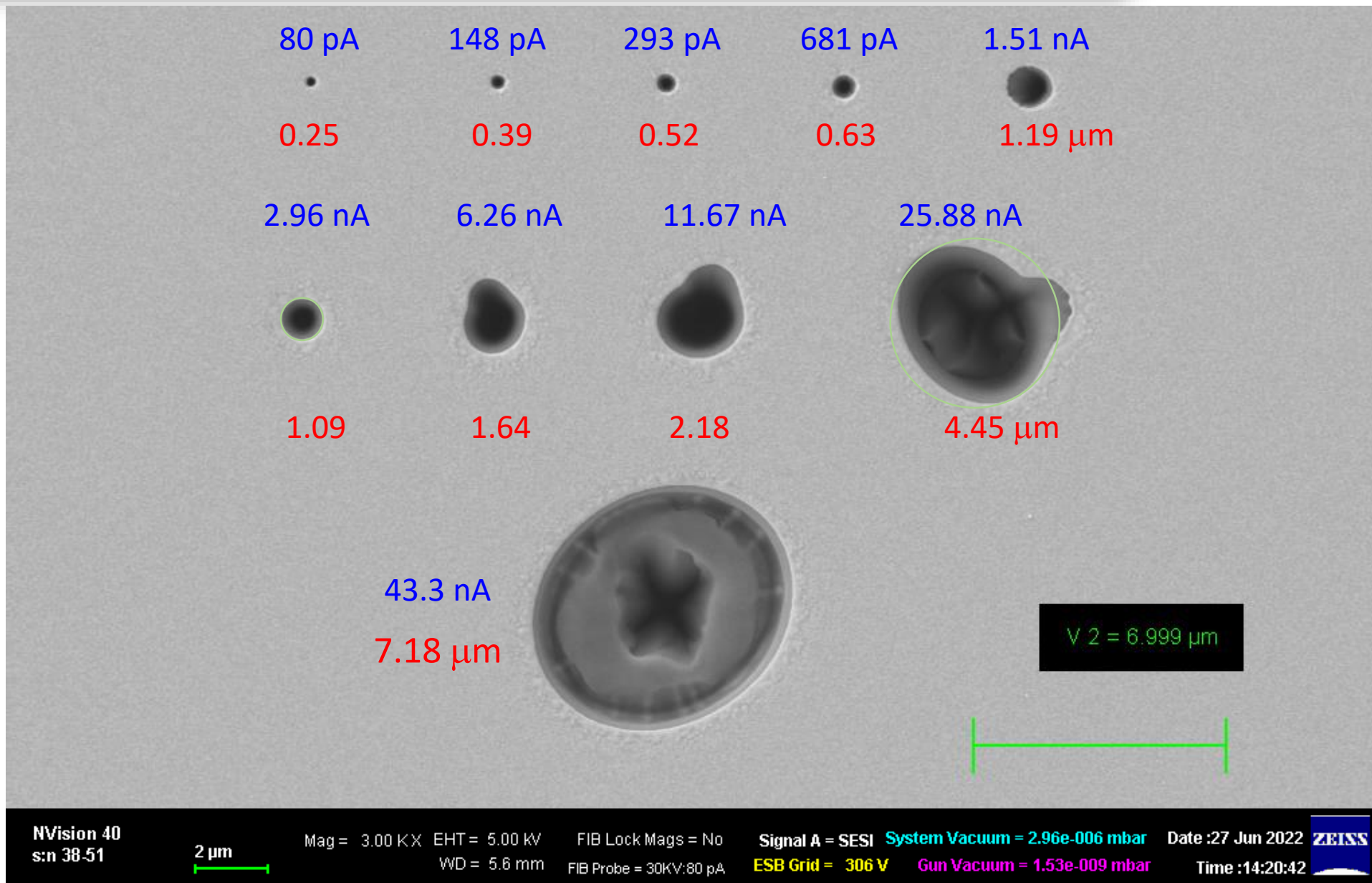
InGa



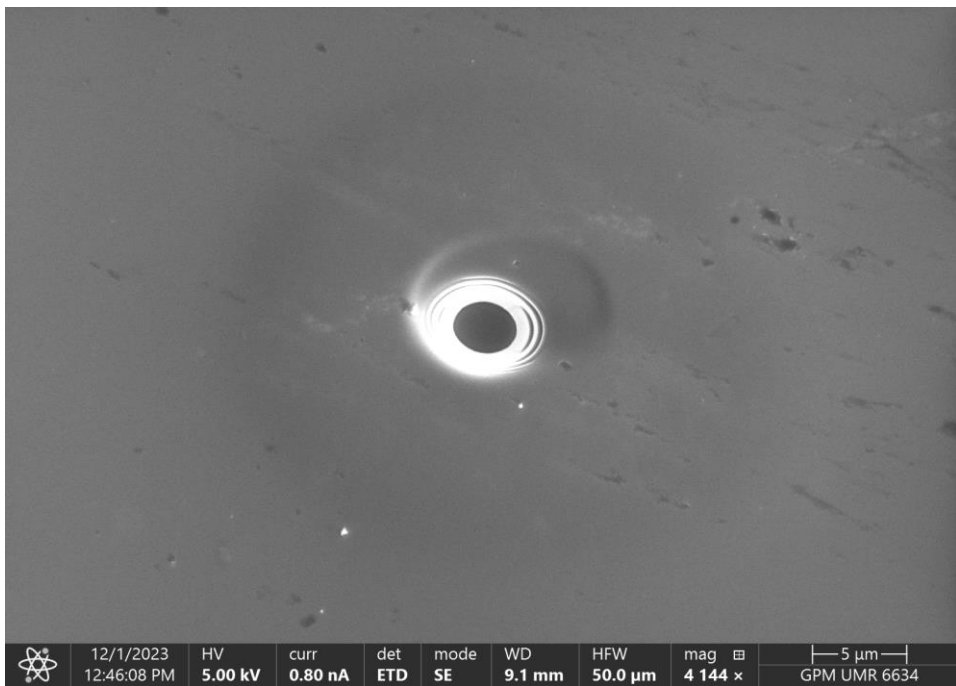
- Bref introduction du principe physique de l'interaction ion-matière
- Conditions opératoires :
  - Réglage du faisceau
  - Alignement du faisceau
  - Influence de l'angle d'incidence
  - Influence de la nature de la cible
  - Influence de la tension d'accélération
- Dommages et tentative de minimisation :
  - Baisser la tension d'accélération
  - Changer la nature de l'ion incident
  - Le mode Cryo FIB-SEM...



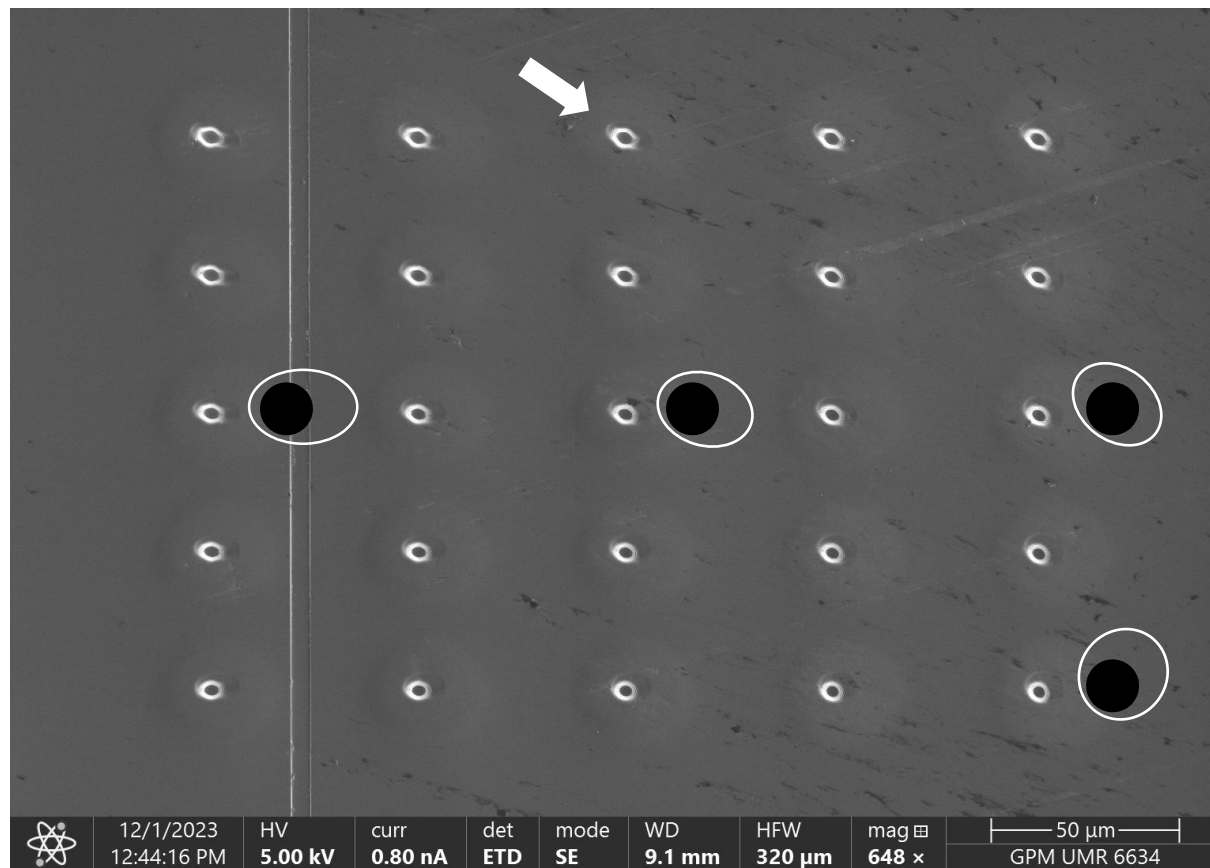
# Vérifier la qualité des spots FIB



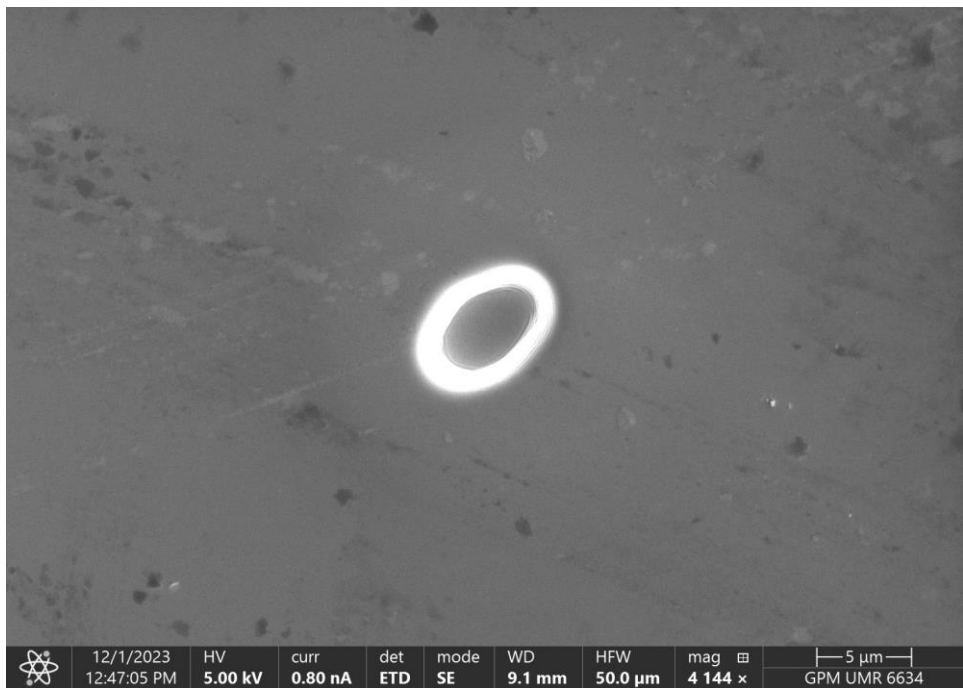
## Alignement des diaphragmes / courant



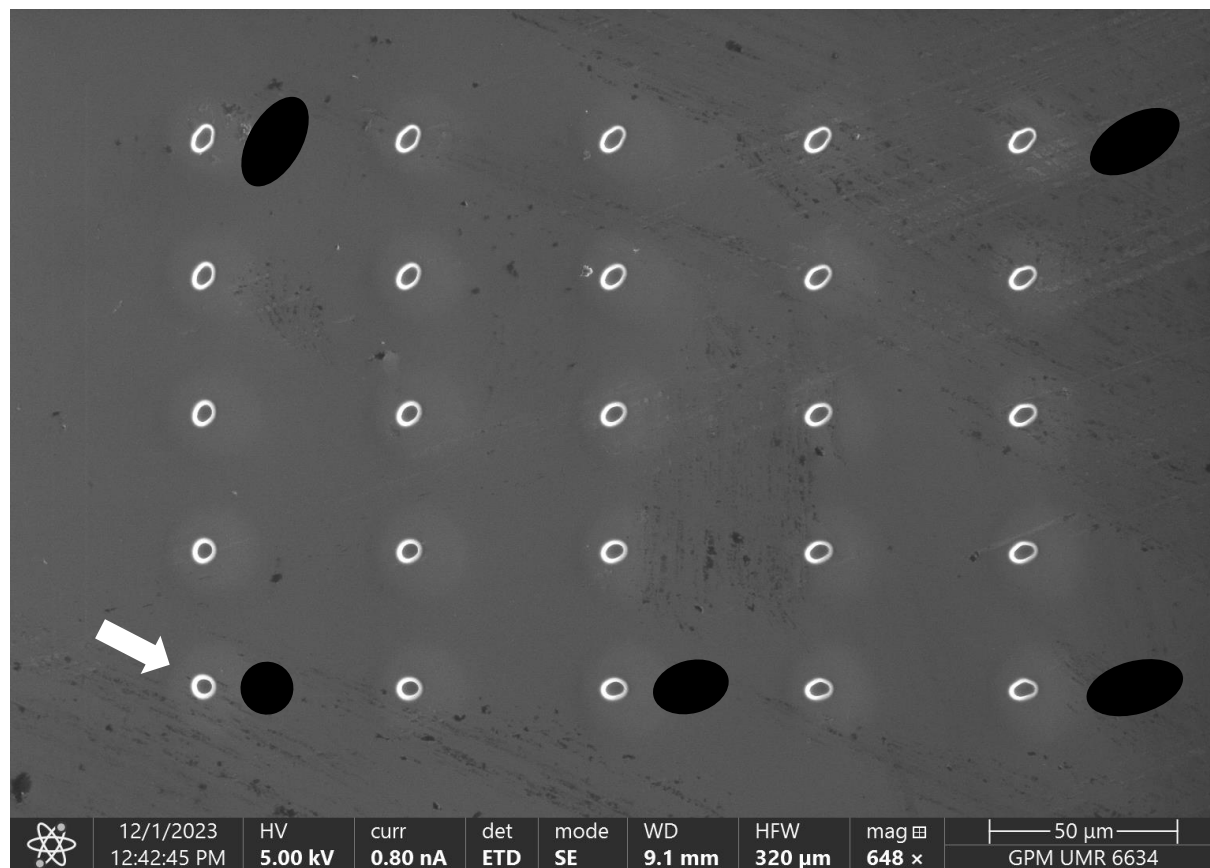
## Spot burns de quelques secondes



## Correction de l'astigmatisme



## Spot burns de quelques secondes



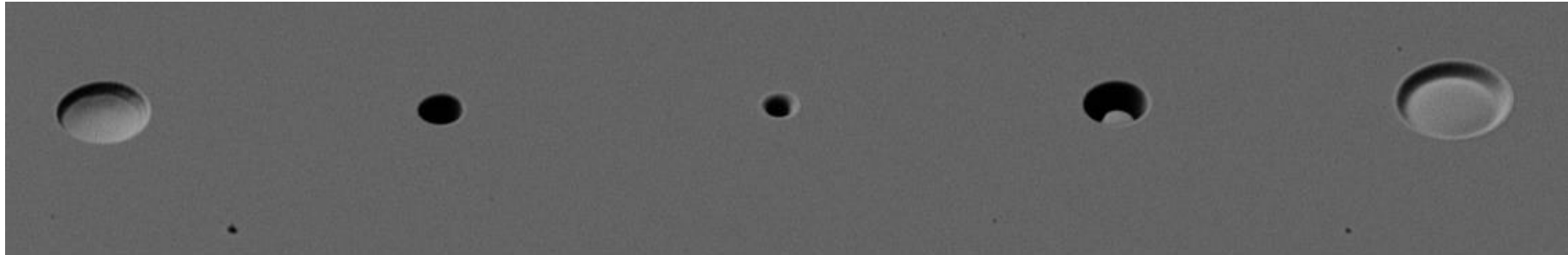
# Optimisation du faisceau FIB

## Réglage du defocus pour les forts courants

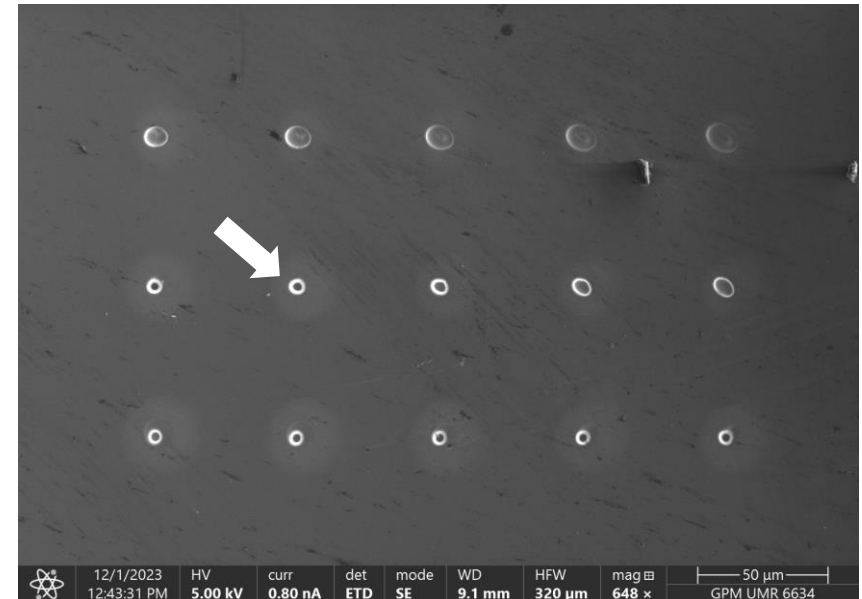
Divergent beam

Focus

Convergent beam



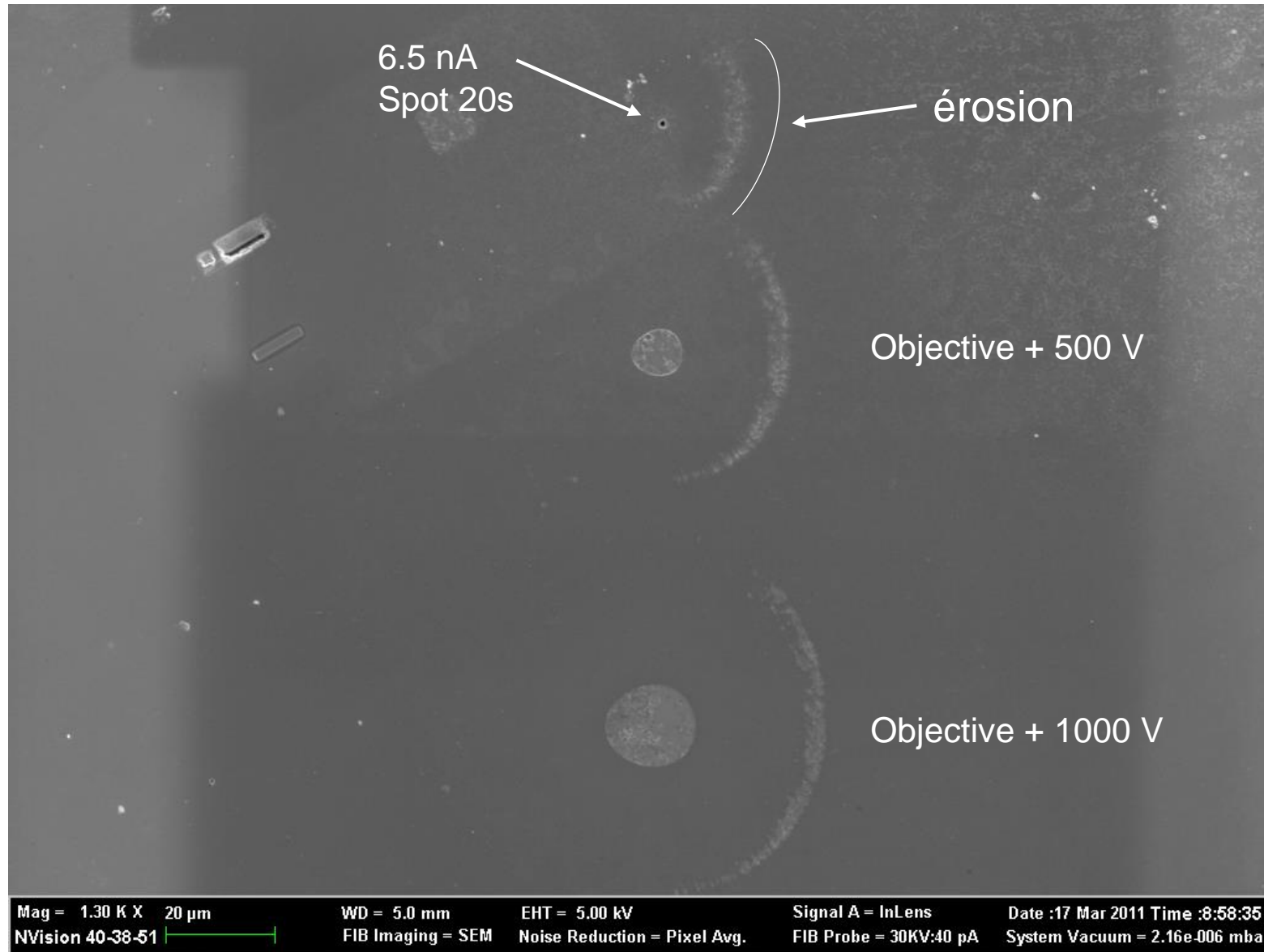
Probe I = 30kv : 1.5nA / DwellTime = 10 s  
Nominal Fib objective voltage = 35400 V  
Delta  $U_{obj}$  = 150 V



Spot burns de quelques secondes



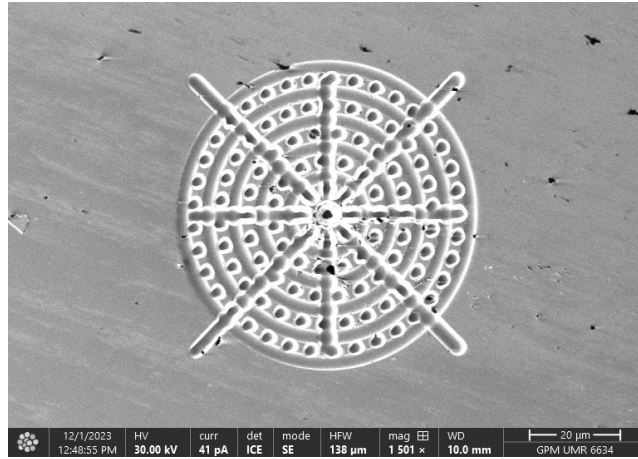
# Point de vigilance sur le diaphragme



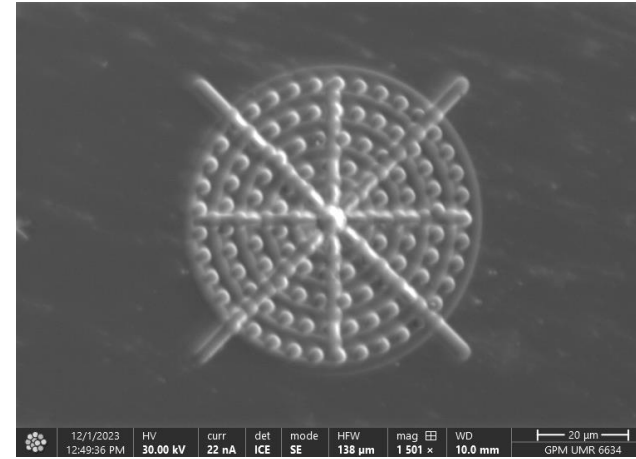
# Alignement des courants de faisceau FIB

En courant de faisceau à une valeur de tension donnée...

30 kV – 41 pA

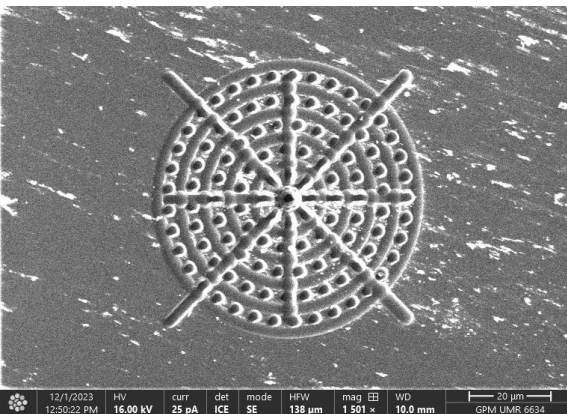


30 kV – 22nA

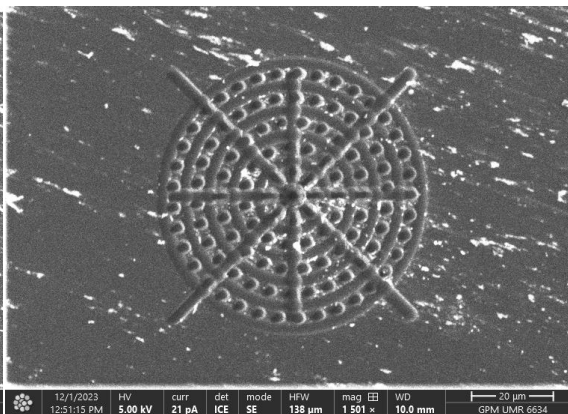


...et en tension d'accélération

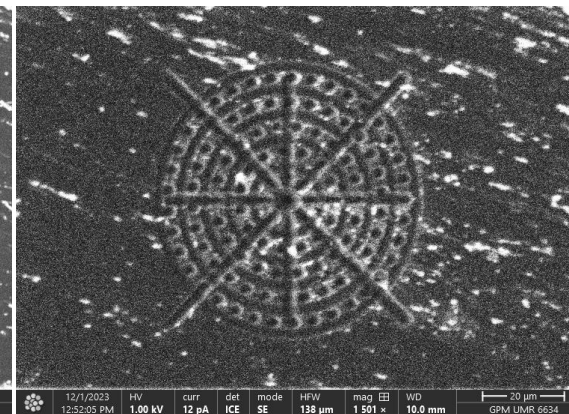
16 kV – 25 pA



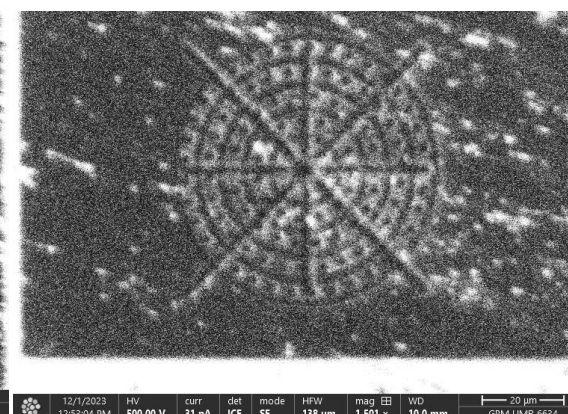
5 kV – 21 pA



1 kV – 12 pA



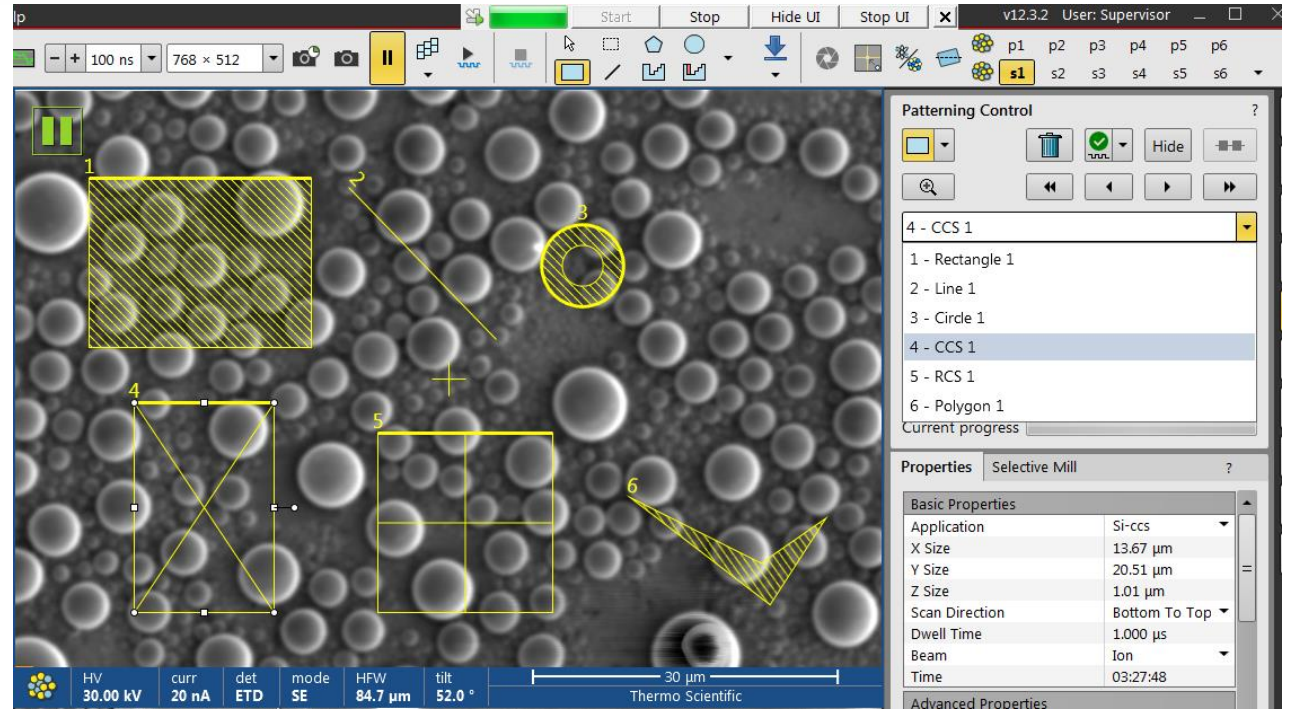
0.5 kV – 31 pA



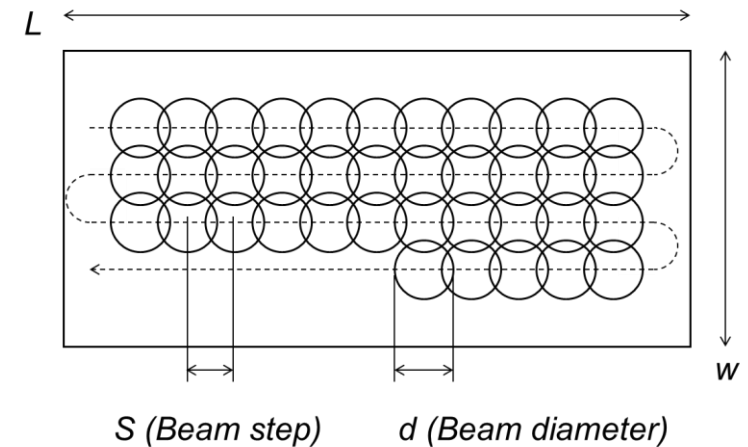
# Mode de balayage du faisceau

## Formes variées...

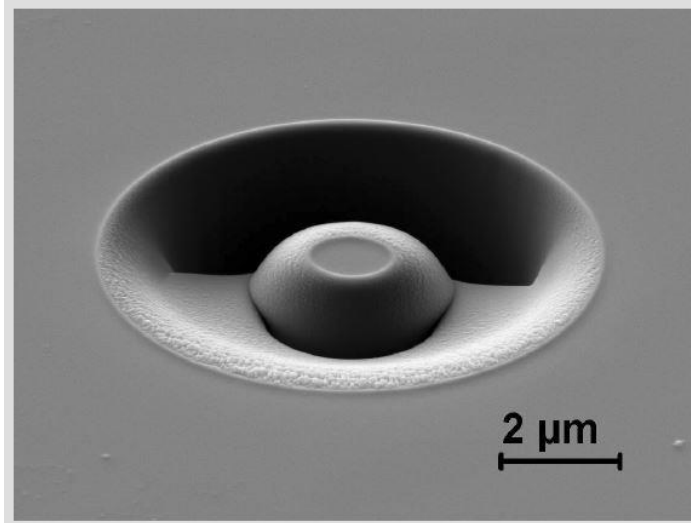
- Line
- Box
- Circle (with adjustable inner diameter)
- Polygons
- 24-bit bitmap files
- Regular cross section
- Cleaning cross section



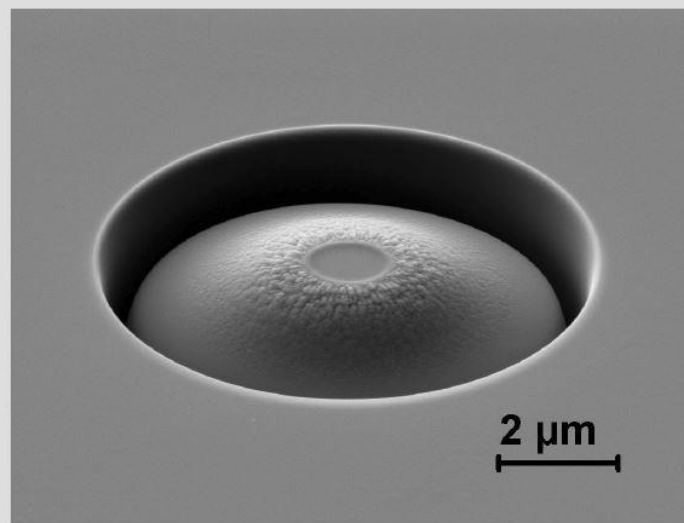
- Recouvrement du faisceau
- Dwell time ( $\mu\text{s}$  à  $\text{ms}$ )
- Direction du balayage (top to bottom,...)
- Mode de balayage (raster, serpentine,...)



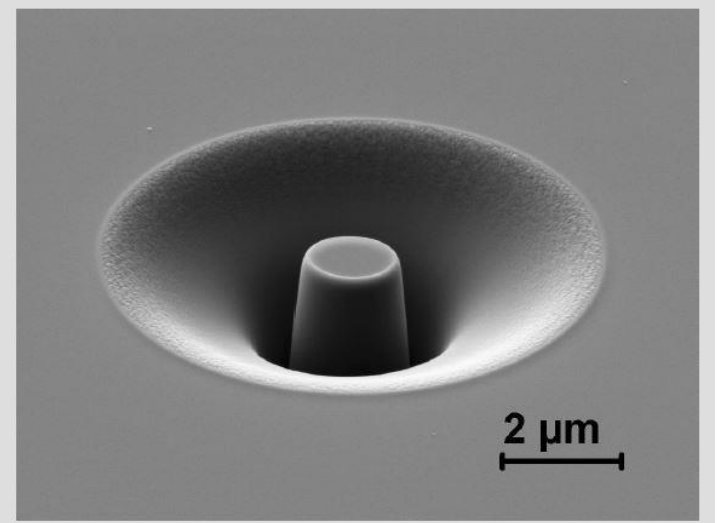
## Balayage XY

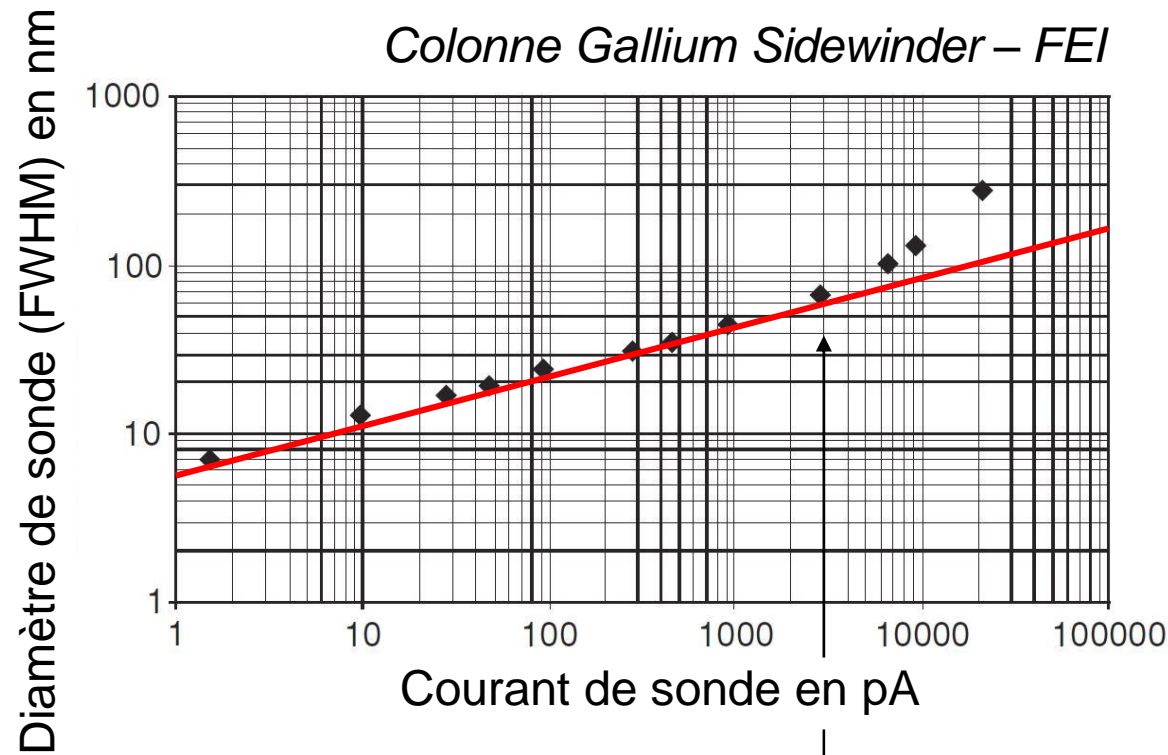


## Annulaire In / Out

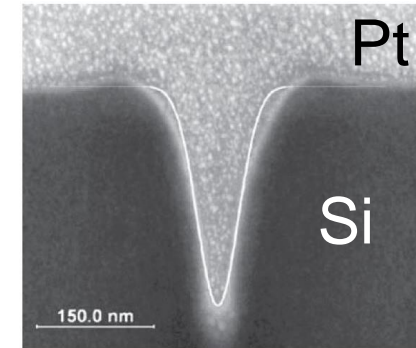


## Annulaire Out / In

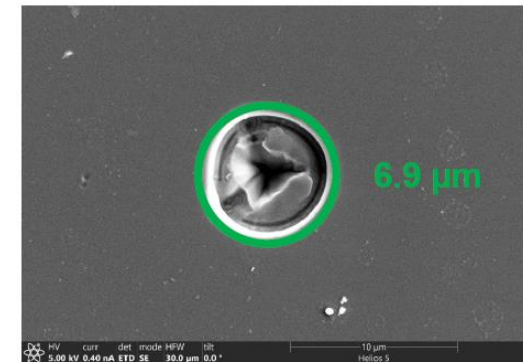




*Ga - 30 kV - 93 pA*



*Ga - 30 kV - 100 nA*



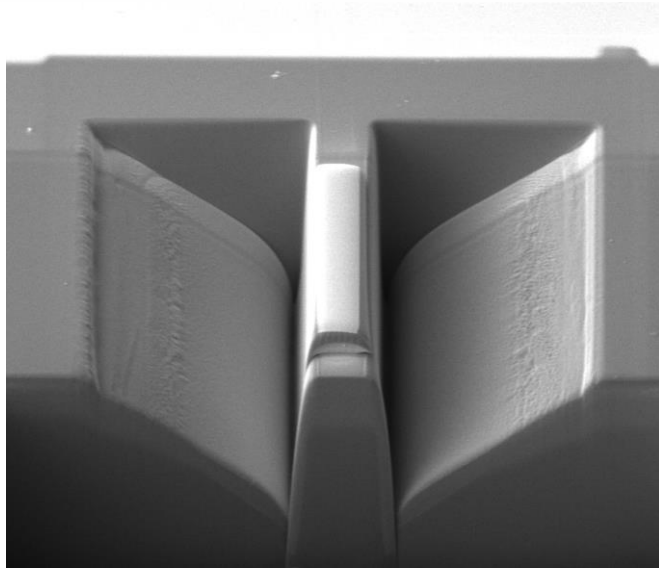
← faibles courants

Taille de sonde petite  
Gain en résolution  
2.5 nm à 1 pA (30 kV)

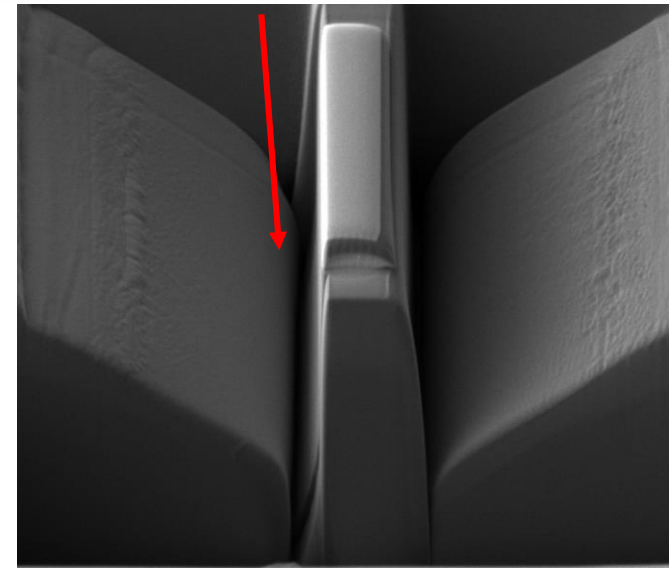
→ forts courants

Taille de sonde devient très grande  
Perte de la résolution  
Limite actuelle (FIB Ga) > 100 nA

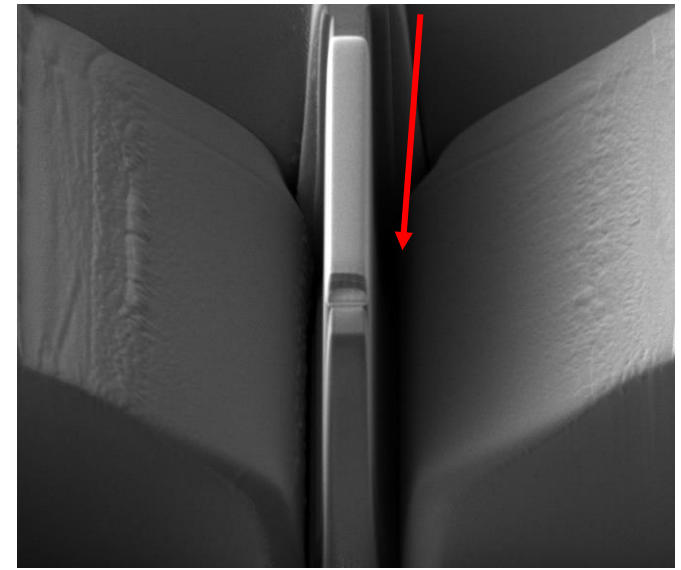
# Utilisation du tilt de la platine échantillon



52°



53.5°



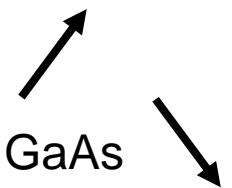
50.5°

## Silicium

28 pA	48 pA	93 pA	0.28 nA	0.48 nA	0.92 nA	2.8 nA	6.5 nA	9.3 nA	21 nA
0.5°	0.8°	1.2°	1.2°	1.5°	1.5°	2°	2°	2°	2°

Materials harder than Silicon (lower sputter rate), i.e. Steel

Materials softer than Silicon (higher/faster sputter rate), i.e. GaAs

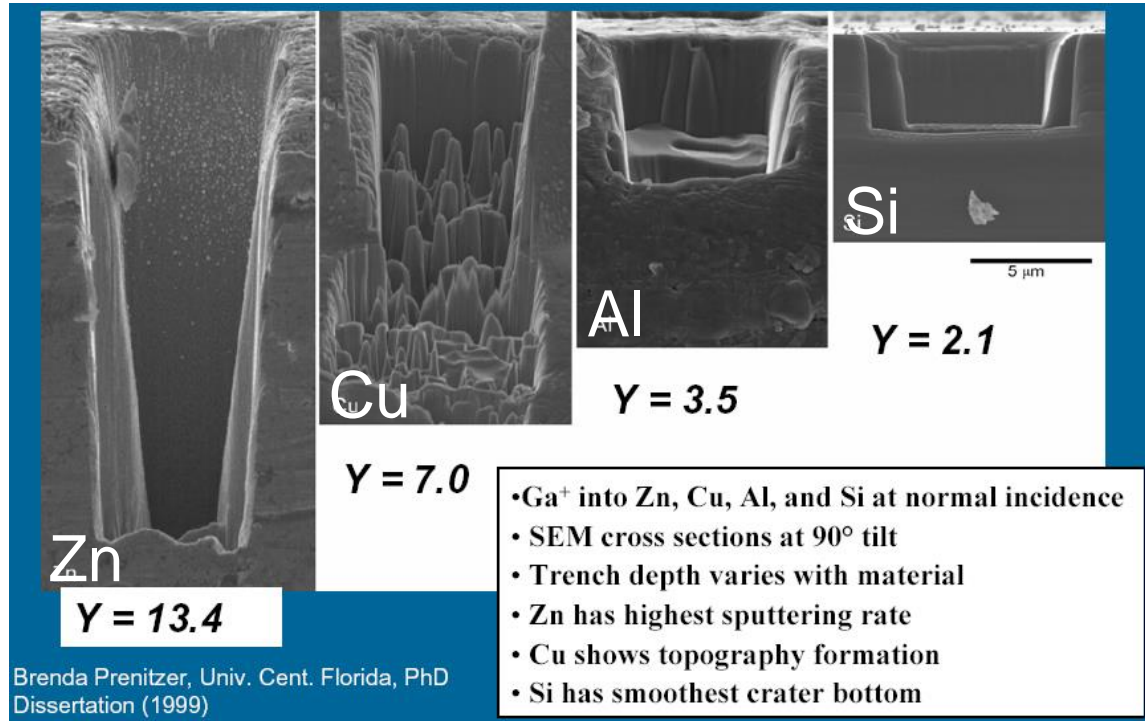


- Bref introduction du principe physique de l'interaction ion-matière
- Conditions opératoires :
  - Réglage du faisceau
  - Alignement du faisceau
  - **Influence de l'angle d'incidence**
  - **Influence de la nature de la cible**
  - **Influence de la tension d'accélération**
- Dommages et tentative de minimisation :
  - Baisser la tension d'accélération
  - Changer la nature de l'ion incident
  - Le mode Cryo FIB-SEM...



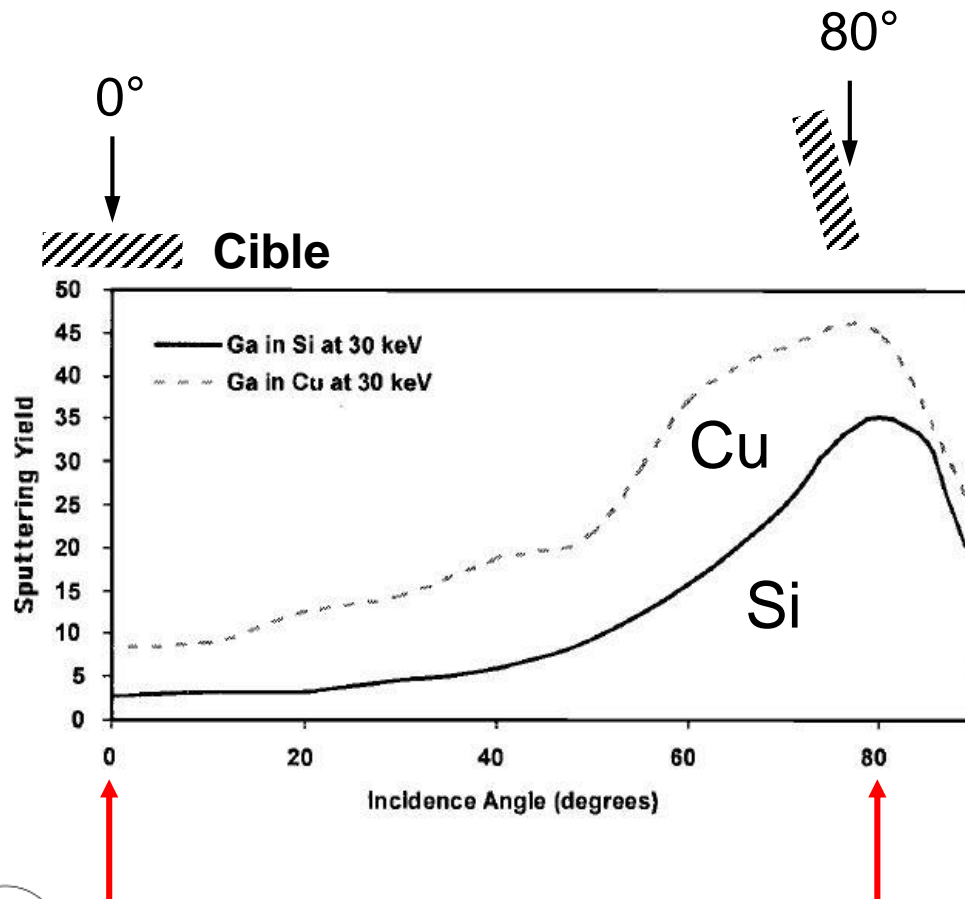
# Rendement de pulvérisation Y

Dépendant du numéro atomique de la cible

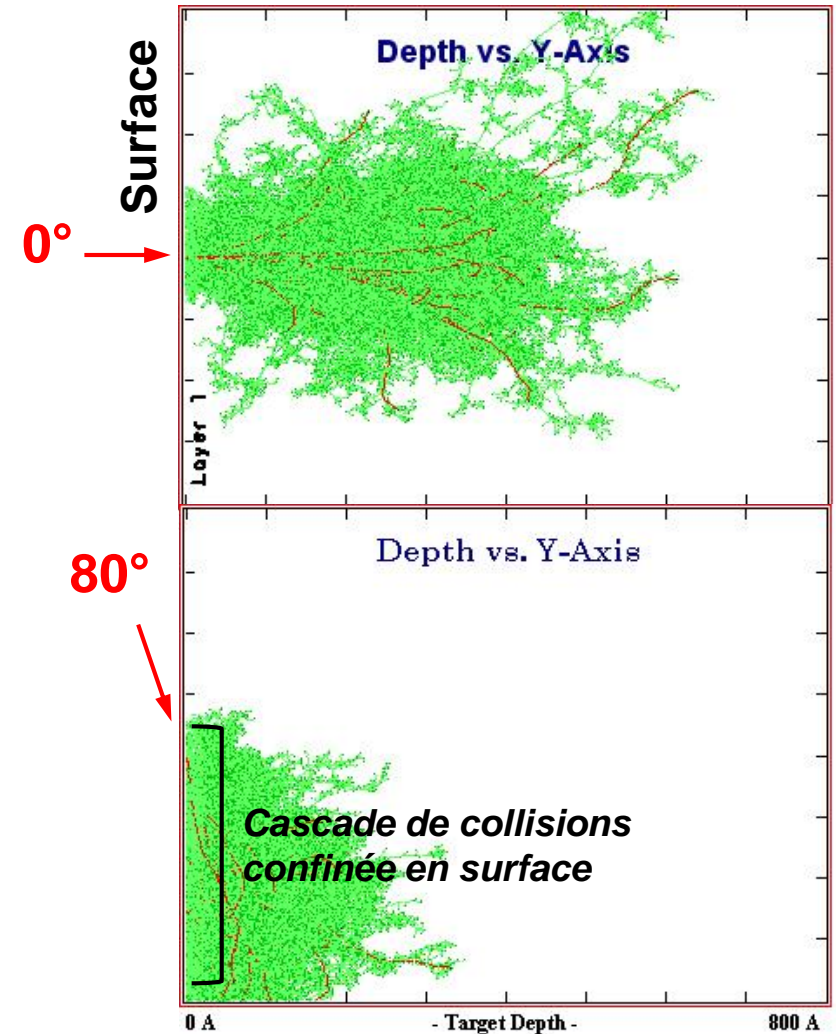


Substrate	Ion	Energy (keV)	Yield (atoms/ion)
Si	Ga <sup>+</sup>	30	3.1 ± 0.8
Si	Ga <sup>+</sup>	30	1.92 ± 0.16
Si	Ga <sup>+</sup>	25	2.6
Si	Ga <sup>+</sup>	25	3.9 ± 0.4
Si	Kr <sup>+</sup>	25	3.1
Diamond (100)	Ga <sup>+</sup>	20	2
Diamond	Ga <sup>+</sup>	50	2.3
Hard amorphous carbon	Ga <sup>+</sup>	50	2.6
GaN	Ga <sup>+</sup>	15	5.2
		30	6.2
		50	6.8
		70	6.7
InP	Ga <sup>+</sup>	30	7.5
GaAs	Ga <sup>+</sup>	30	4.8
SiC	Ga <sup>+</sup>	30	2.5
Al <sub>2</sub> O <sub>3</sub>	Ga <sup>+</sup>	30	1.9
Au	Ga <sup>+</sup>	100	32
Au	Ga <sup>+</sup>	40	15.7 ± 1.3
Au (plated)	Ga <sup>+</sup>	25	18 ± 3
Au (evap.)	Ga <sup>+</sup>	25	23 ± 5
Au	Kr <sup>+</sup>	25	20
W (RF-sputt.)	Ga <sup>+</sup>	25	5 ± 0.7
W	Kr <sup>+</sup>	22	4.1
Al	Ga <sup>+</sup>	30	1.1–4.5
Al	Si <sup>+</sup>	30	-0.26
		120	-0.09
SiO <sub>2</sub>	Ga <sup>+</sup>	68	2.0 molec./ion
SiO <sub>2</sub>	Ga <sup>+</sup>	25	0.84
SiO <sub>2</sub>	Ga <sup>+</sup>	30	0.85
SiO <sub>2</sub>	Ga <sup>+</sup>	30	2.0

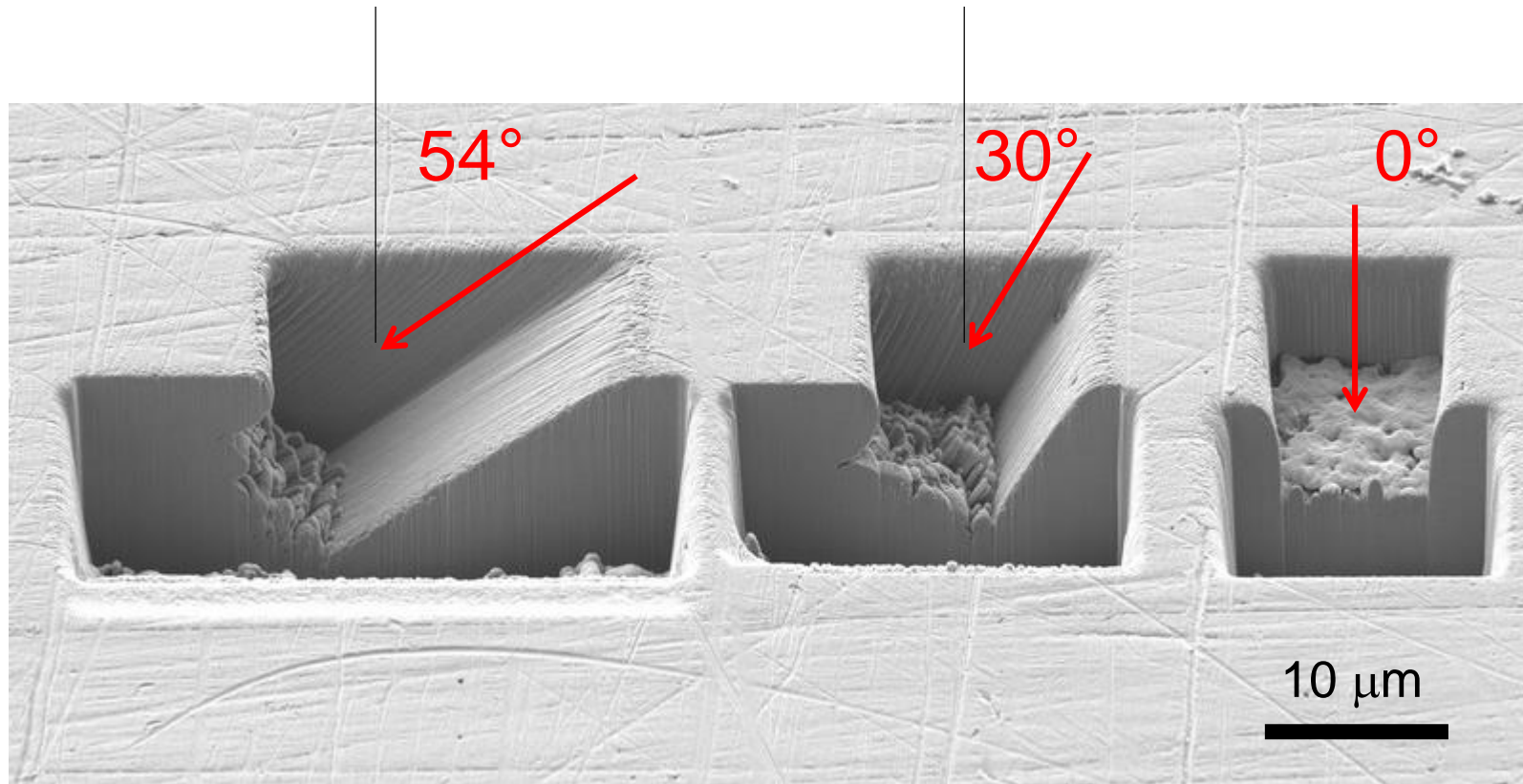
Dépendant de l'angle d'incidence du faisceau



Ga - 30 kV dans Si

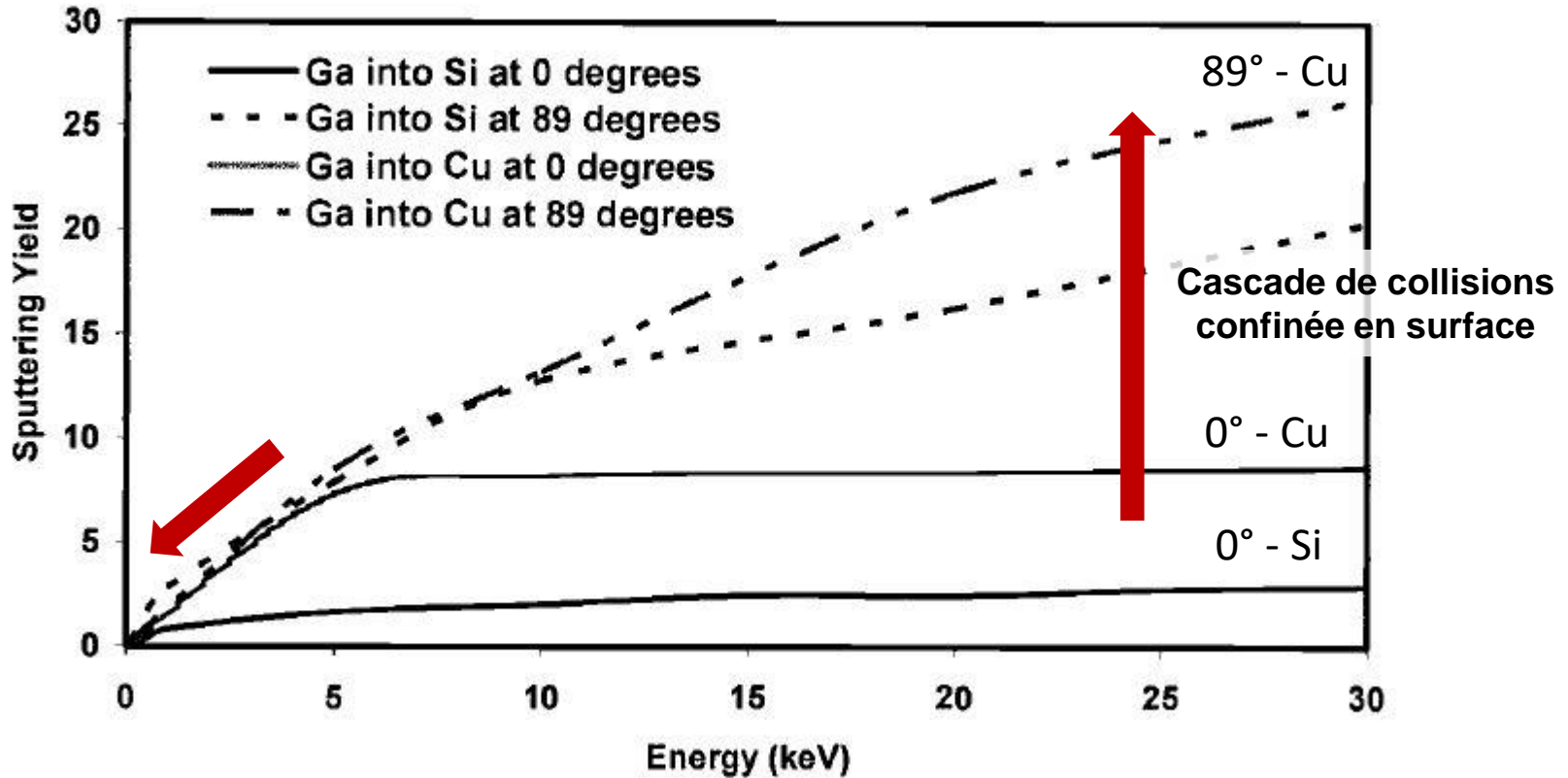


Dépendant de l'angle d'incidence du faisceau



# Rendement de pulvérisation Y

Dépendant de la tension d'accélération du faisceau

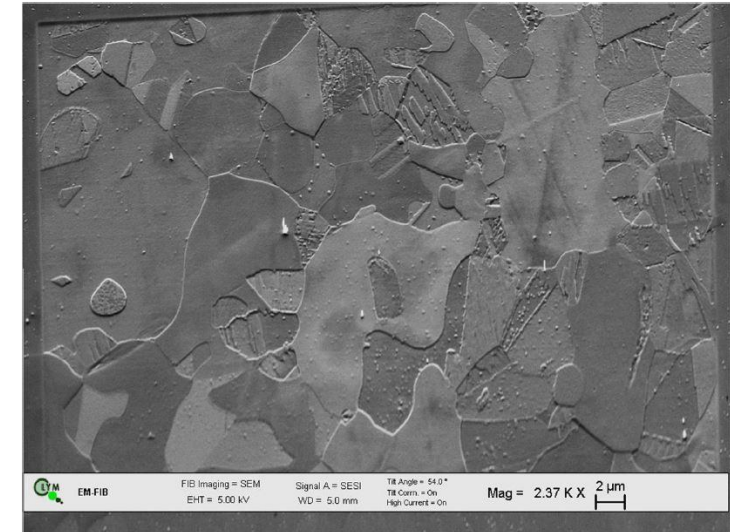


- Bref introduction du principe physique de l'interaction ion-matière
- Conditions opératoires :
  - Réglage du faisceau
  - Alignement du faisceau
  - Influence de l'angle d'incidence
  - Influence de la nature de la cible
  - Influence de la tension d'accélération
- Dommages et tentatives de minimisation :
  - Baisser la tension d'accélération
  - Changer la nature de l'ion incident
  - Le mode Cryo FIB-SEM...

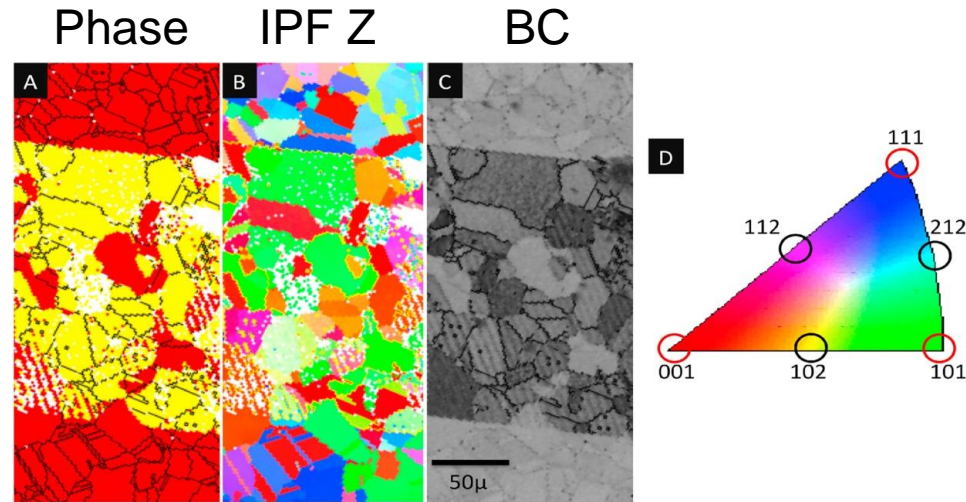


Pour minimiser le phénomène :

- adapter le courant d'imagerie à l'étendue de la surface balayée par le faisceau FIB,
- augmenter la vitesse de balayage (dwell time),
- éviter de balayer continuellement (blank, freeze,...).

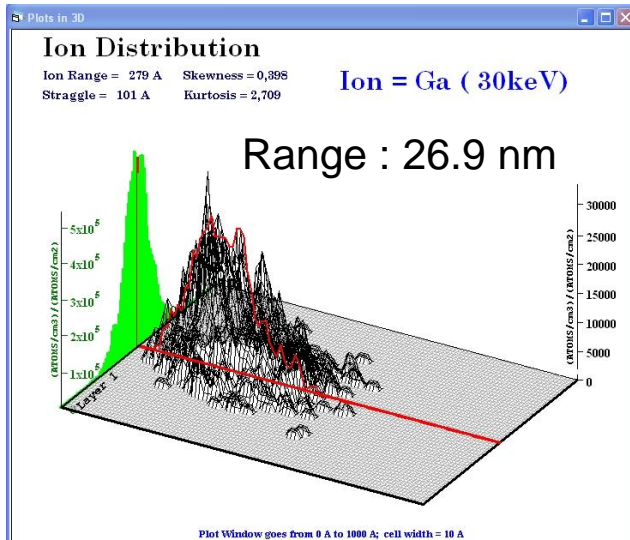


Transformation Austenite  $\gamma$   
(rouge) en Ferrite  $\alpha$  (jaune)

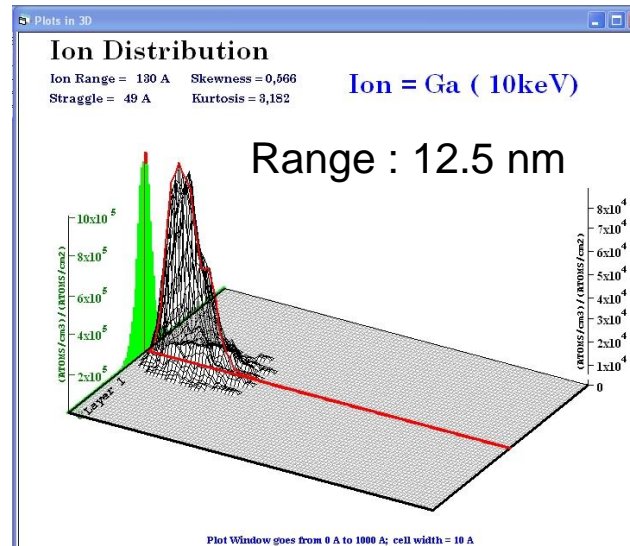


# Minimiser l'implantation : baisser la tension d'accélération

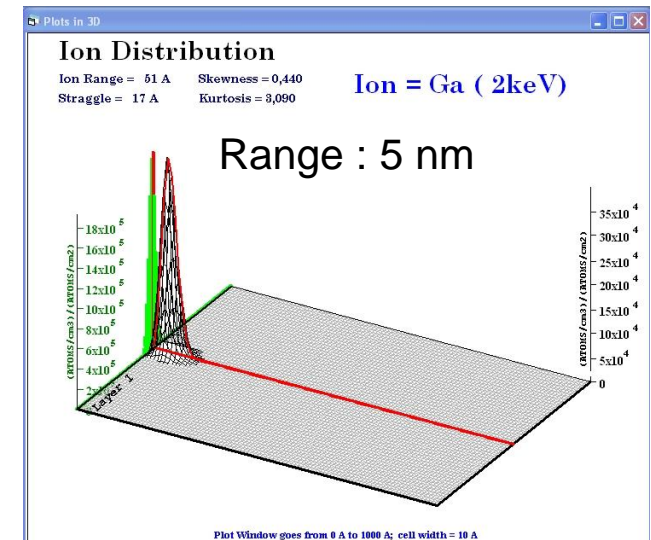
30 keV



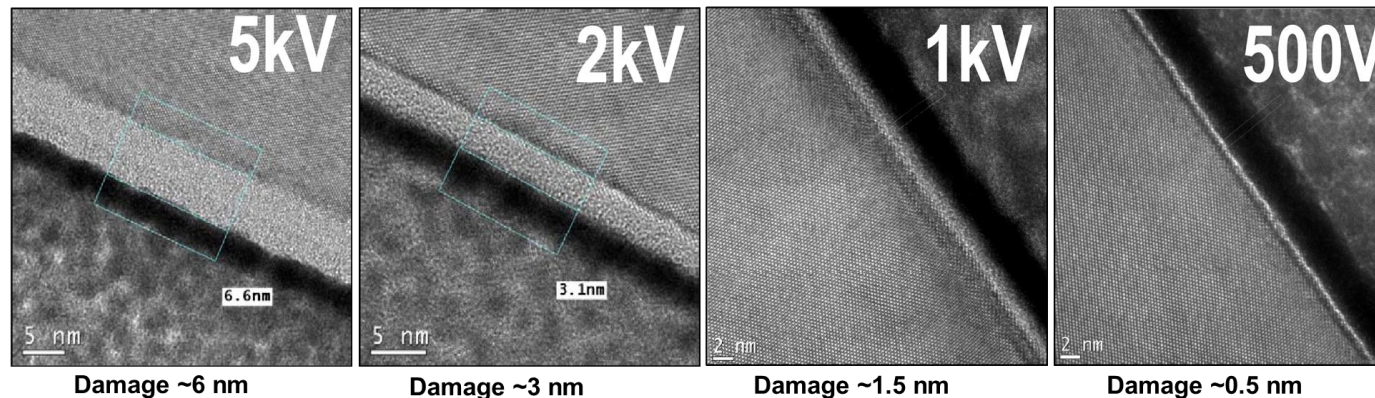
10 keV



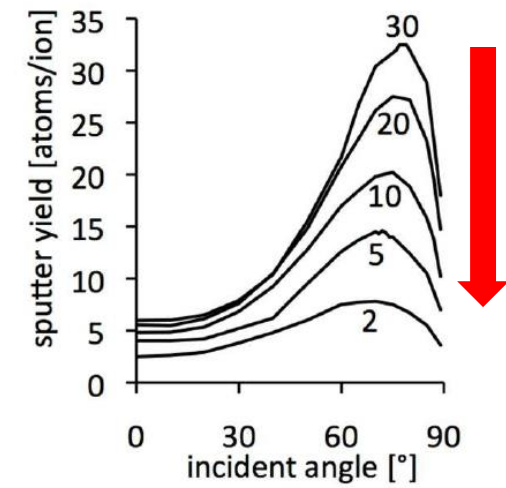
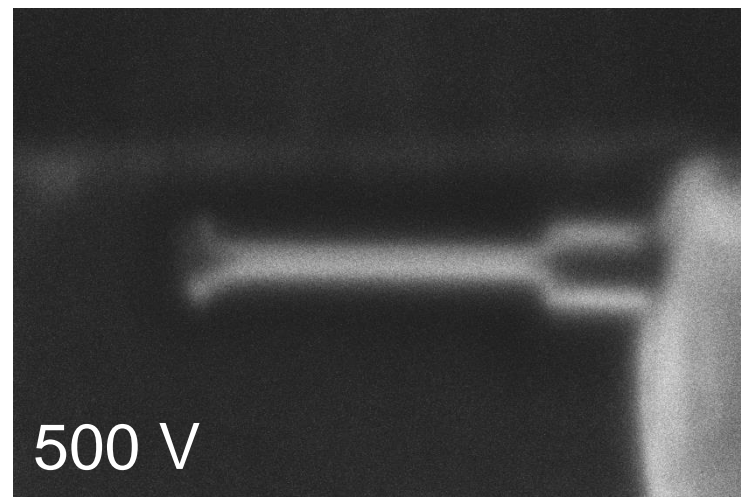
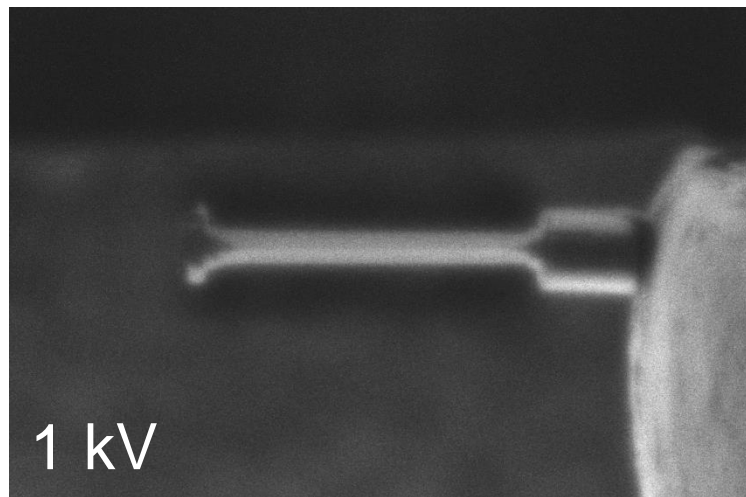
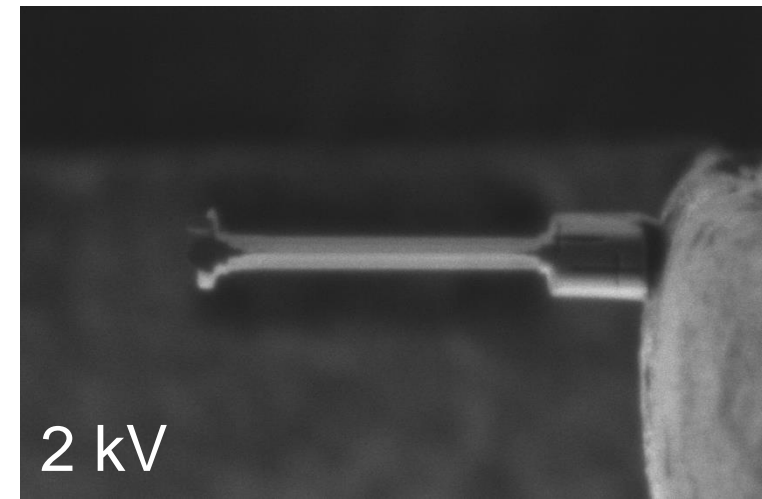
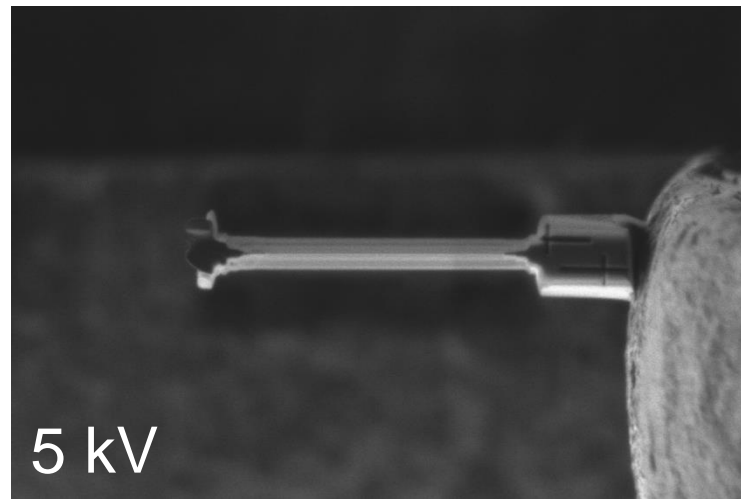
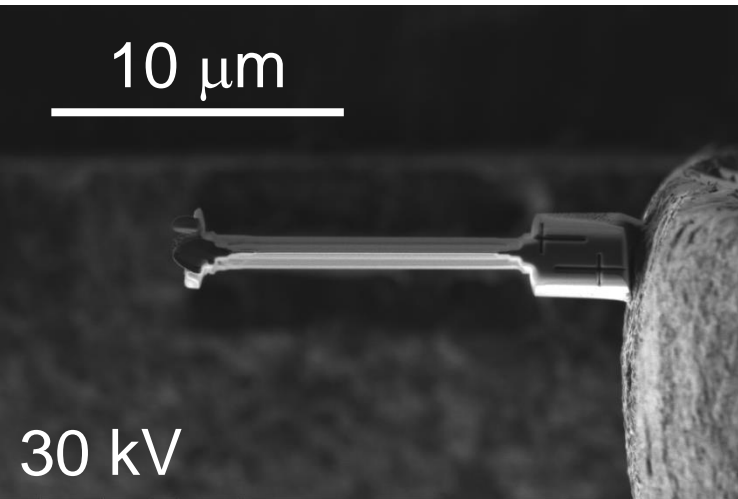
2 keV



Cross section of a Si thinned sample at various kV

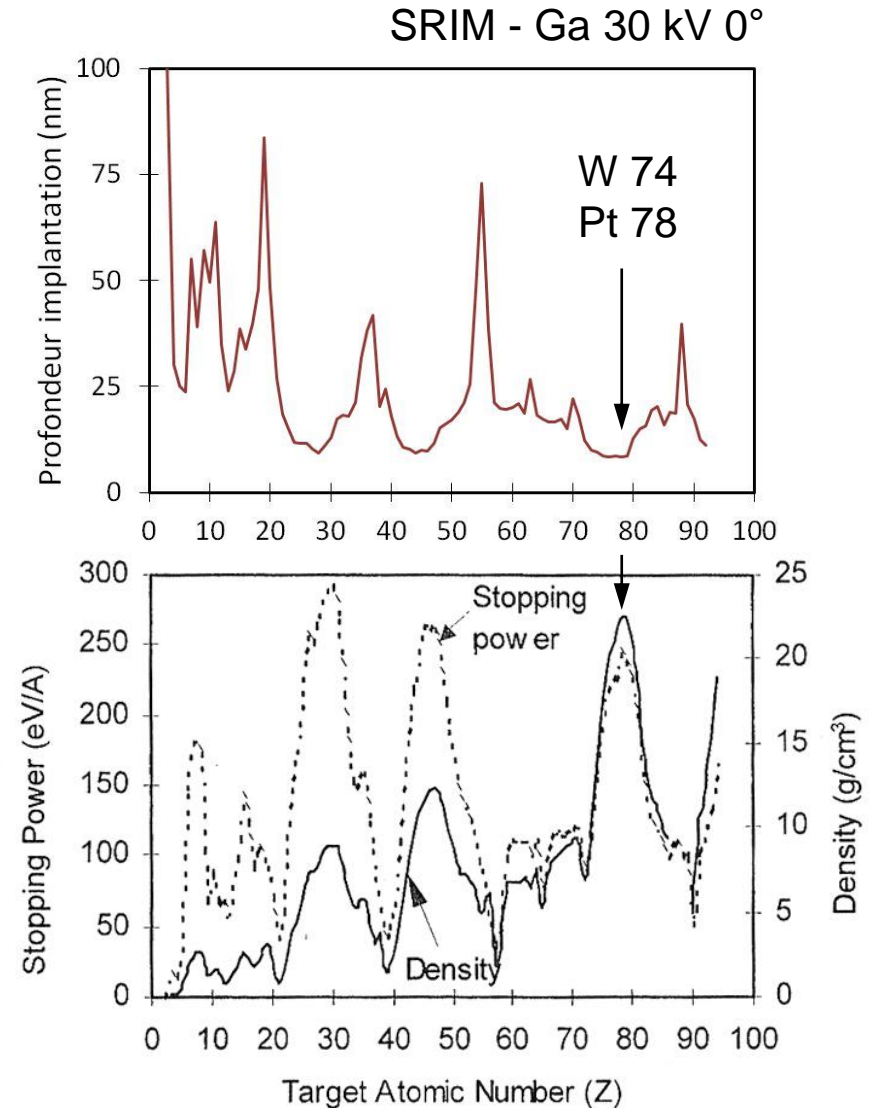
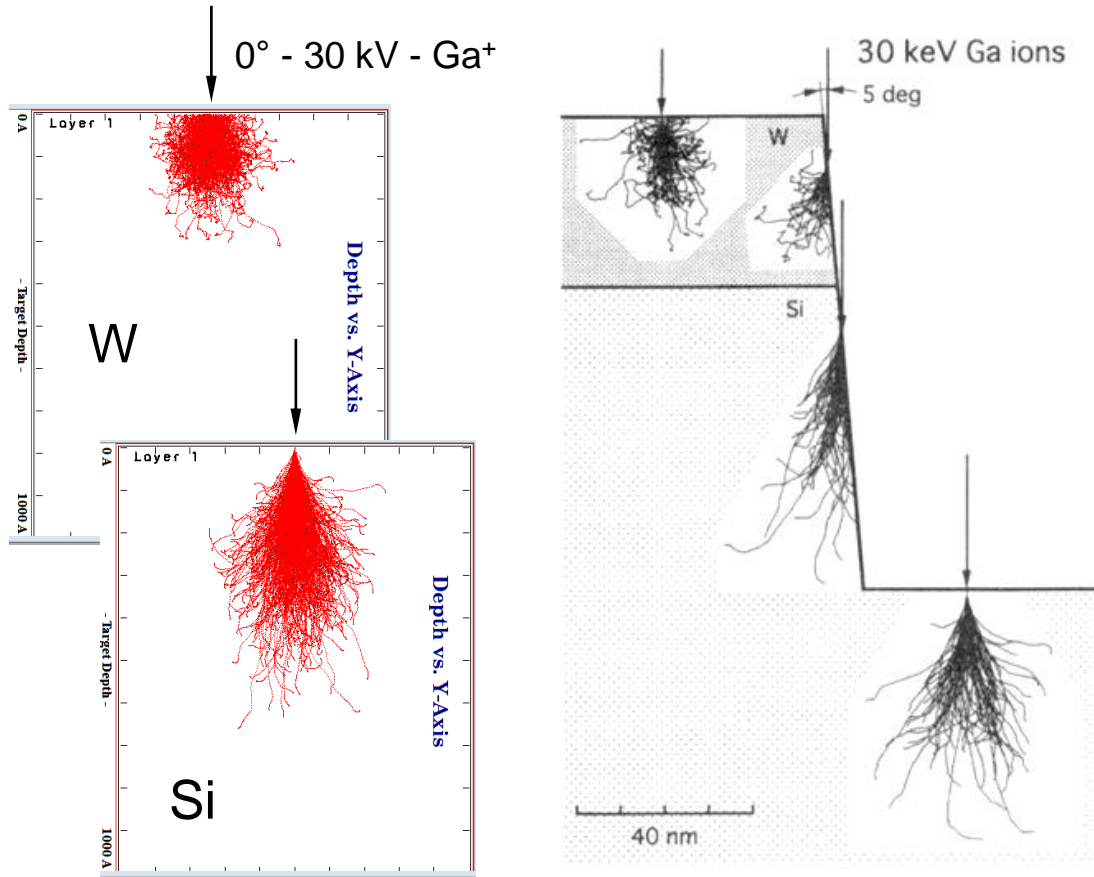


# Résolution basse tension



# Implantation du Gallium : Protection Pt ou W

Lié au pouvoir d'arrêt du matériau cible



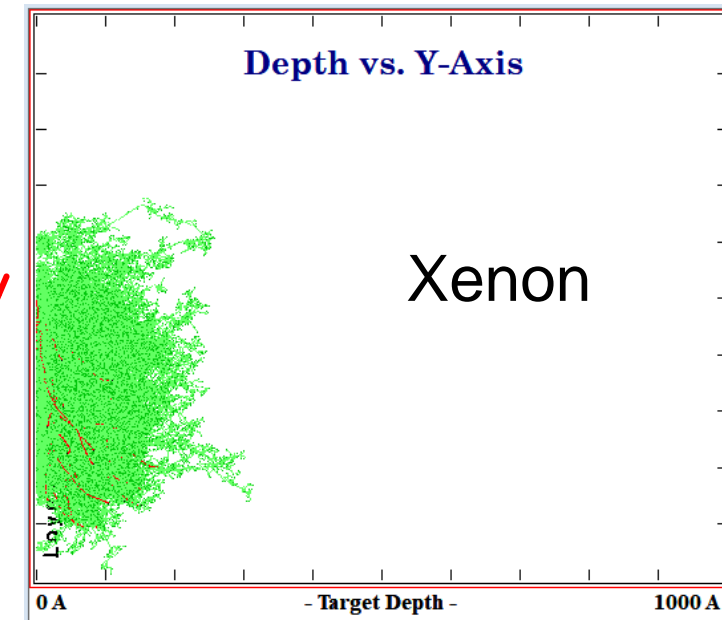
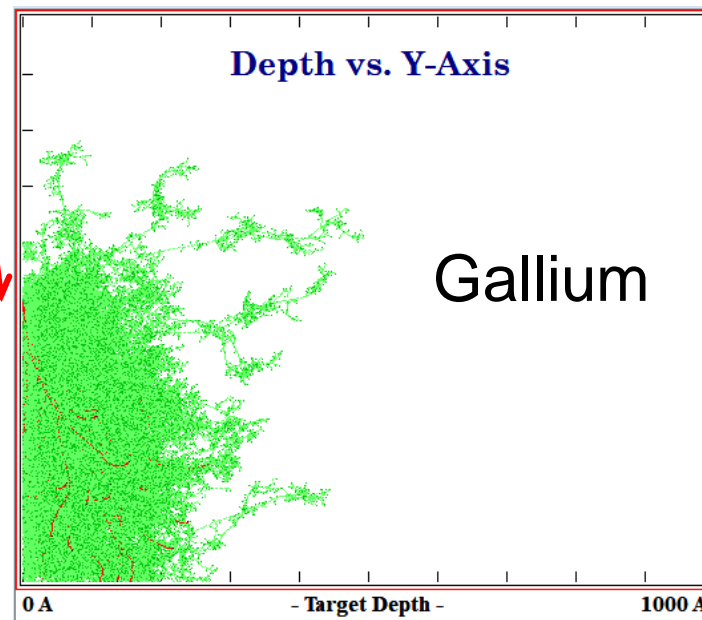
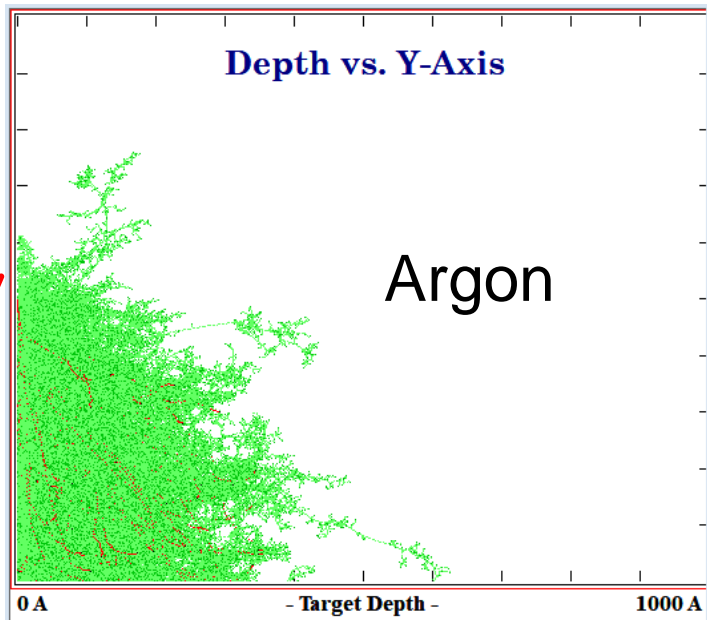
# Implantation latérale

Ions incidents @ 30kV, 88°

Ar 371 lacunes / ion  
lateral proj 37.1 nm

Ga 330 lacunes / ion  
lateral proj 28.5 nm

Xe 356 lacunes / ion  
lateral proj 23.8 nm

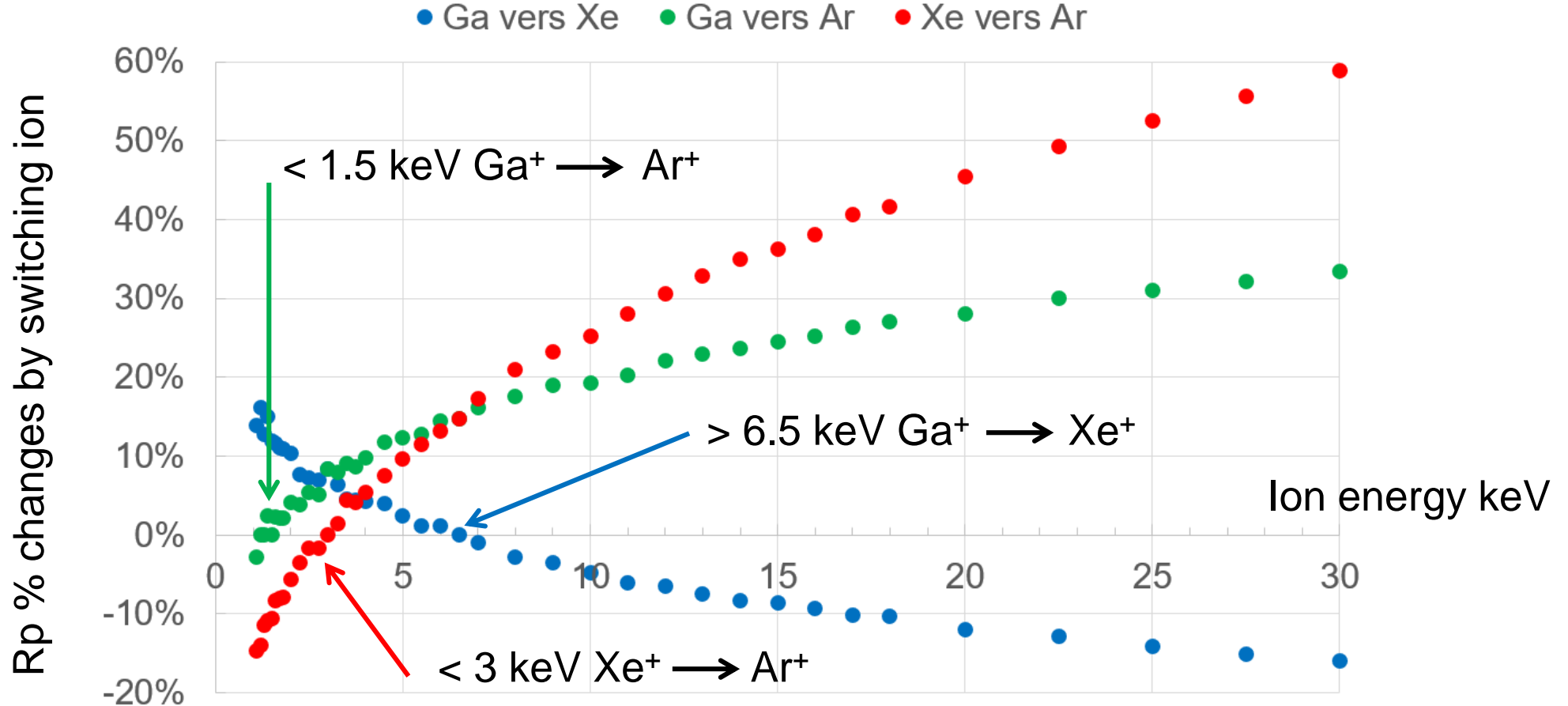


**Damage-free Si layer :**

Argon 26 %  
Gallium 43 %  
Xenon 53 %



# Rp % changes by switching ion at different ion energy

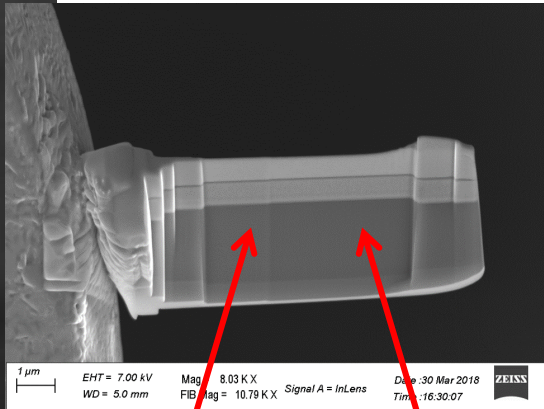
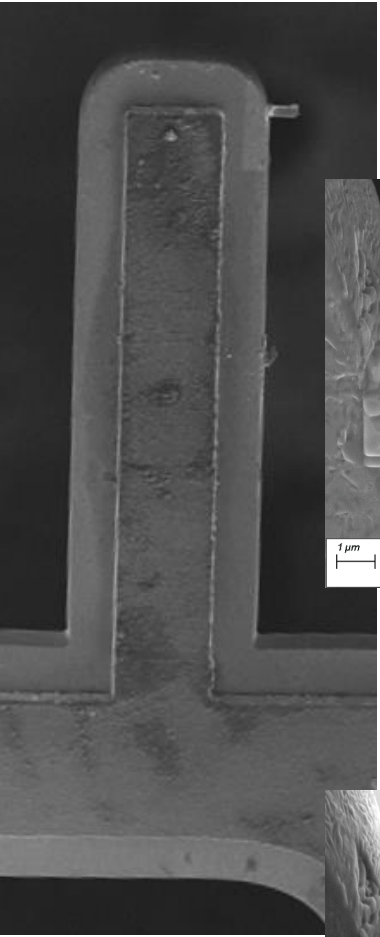


Argon : pour des applications  $< 1.5 \text{ kV}$

Xenon : pour des applications à haute tension

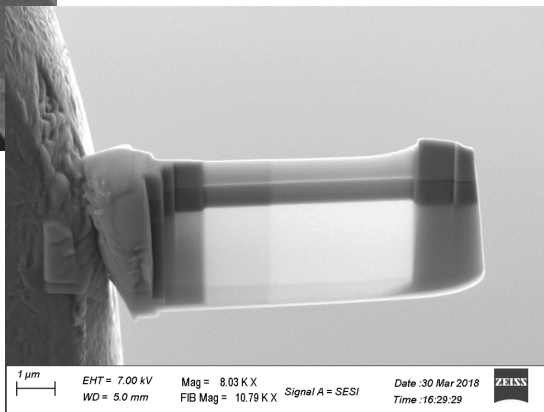


# Amincissement Post-FIB : 0.5 keV Argon "broad beam"

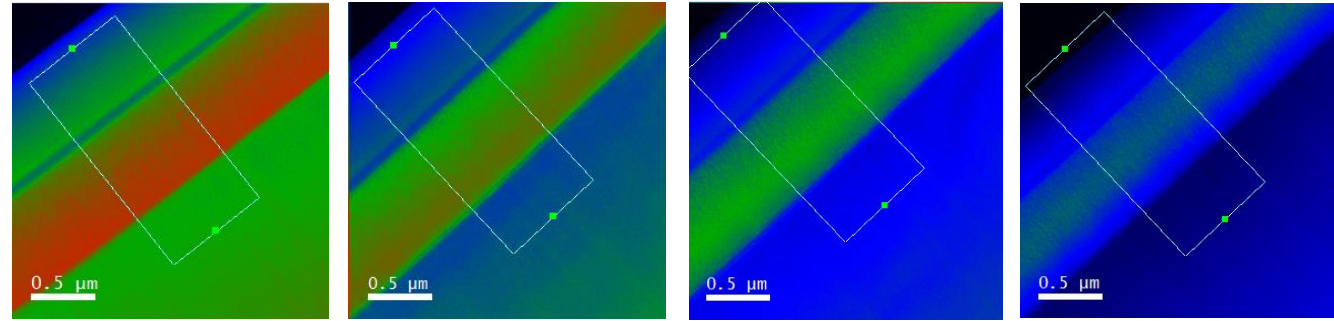


+8°  
0.5 keV Ar<sup>+</sup>

-8°  
0.5 keV Ar<sup>+</sup>



## EFTEM



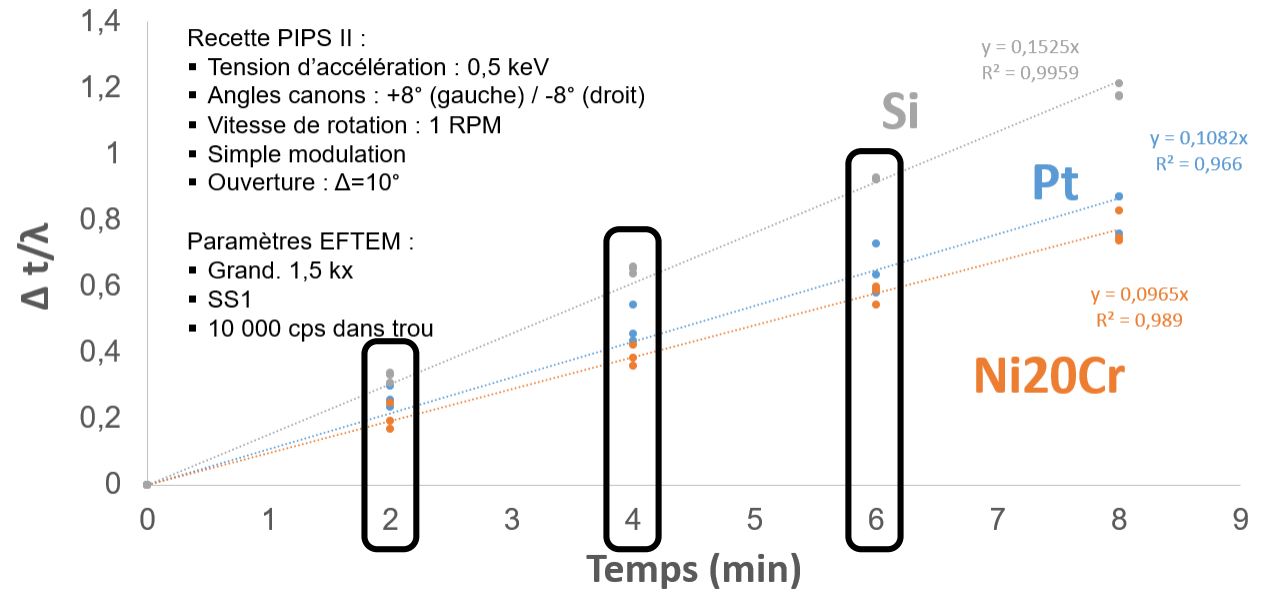
Post-FIB

PIPS II 2 min

PIPS II 4 min

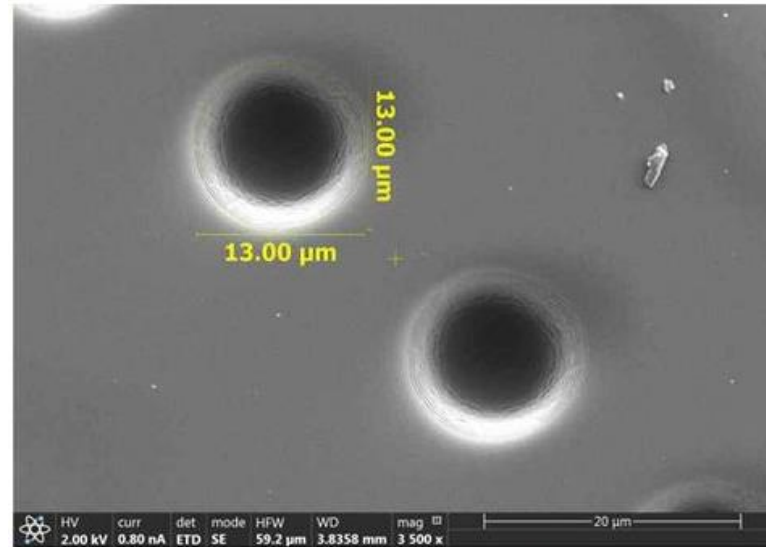
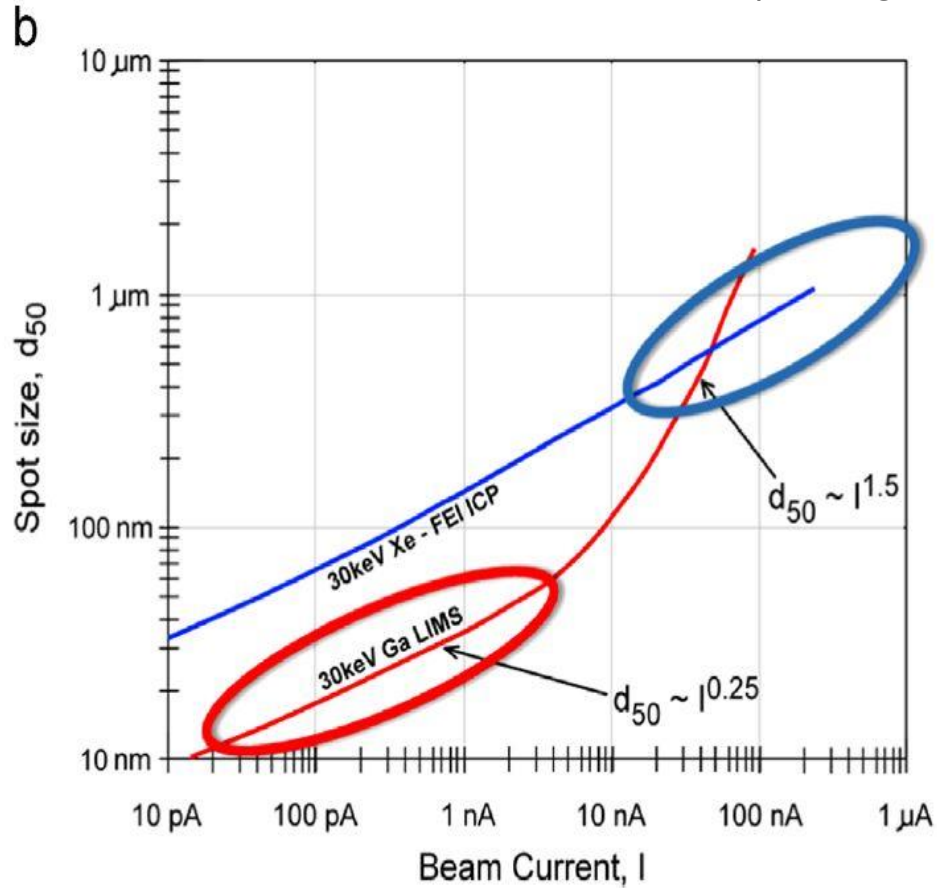
PIPS II 6 min

## Ni20Cr 11 (grille Cu)



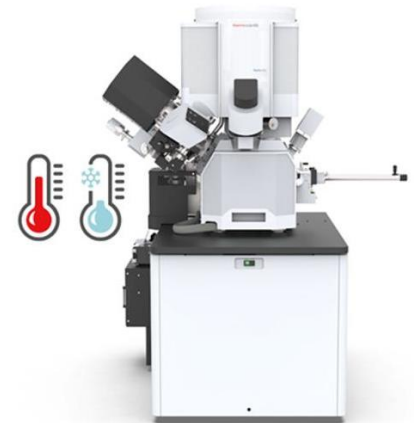
# Choix de la technologie Plasma-FIB

- Fort courant disponible ( $> 2.5 \mu\text{A}$ , si le matériau résiste...)
- Diamètre de faisceau  $>$  faisceau Ga
- Interaction ion / matière (Al, Mg, ...)



PFIB Xe  $2.5 \mu\text{A}$

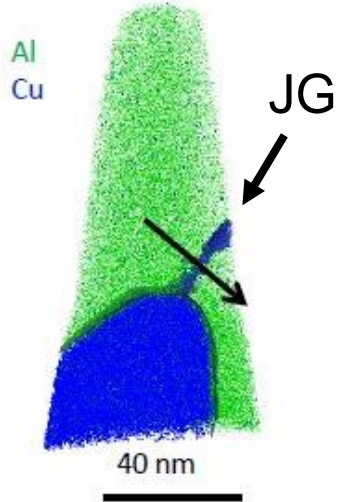
➔ Xe, Ar, N, O



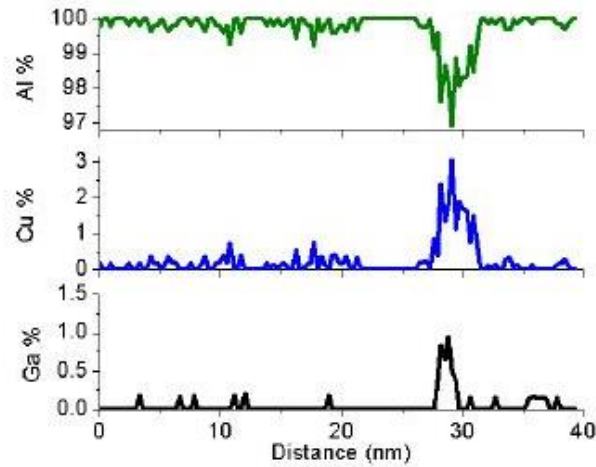
# Choix de la technologie Plasma-FIB

Diffusion du Gallium dans les défauts (JG, dislocation,...)

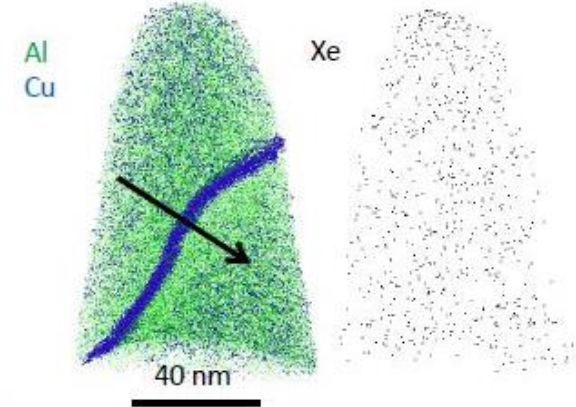
Reconstruction



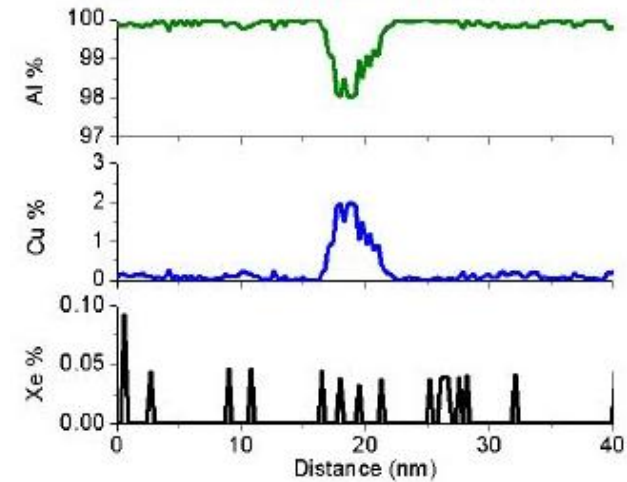
1-D Concentration Profiles



Reconstruction



1-D Concentration Profile



Ga-FIB dans Aluminium

Plasma-FIB



- Indispensable pour les matériaux cryo-fixés
- Réduire l'échauffement local :  
lié à l'utilisation du faisceau d'ions ou d'électrons

## Low melting temperature materials

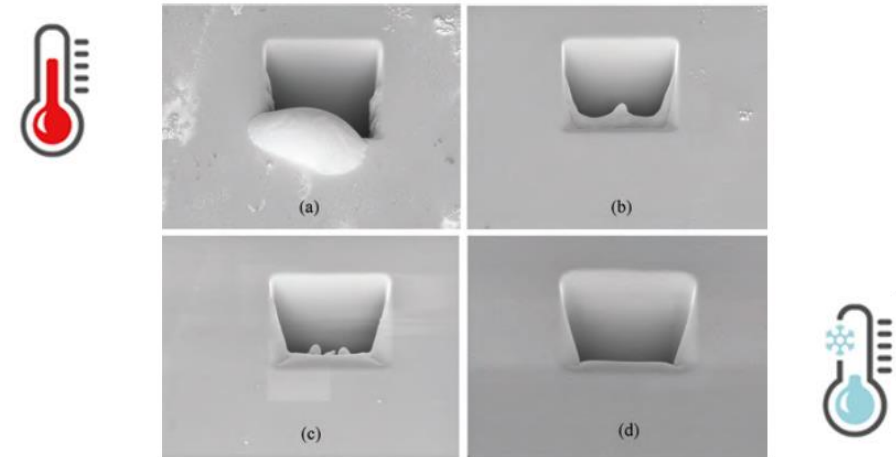


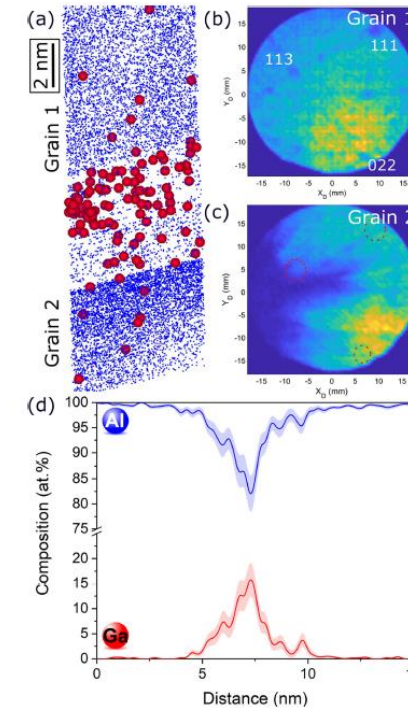
Fig. 12 GaN exposed to 30 keV  $Ga^+$ , dose:  $5.5 \text{ nC}/\mu\text{m}^2$  at (a) 248, (b) 223, (c) 173, and (d) 128 K

Failure Analysis of Electronic Material Using Cryogenic FIB-SEM EDFAAO (2013) 3:12-19

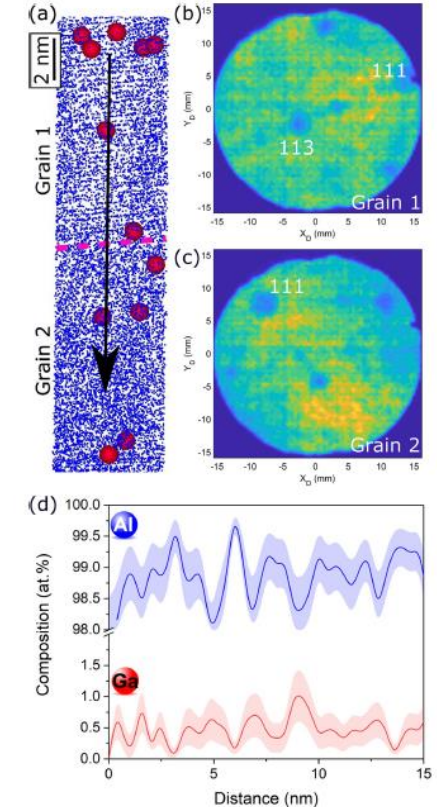
# Bénéfice du Cryo FIB-SEM

- Indispensable pour les matériaux cryo-fixés
- Réduire l'échauffement local :  
lié à l'utilisation du faisceau d'ions ou d'électrons
- Réduire les artefacts :  
implantation Ga, +H sur Zr et Ti

## Analyse de JG en APT



Préparation  $T_{amb}$



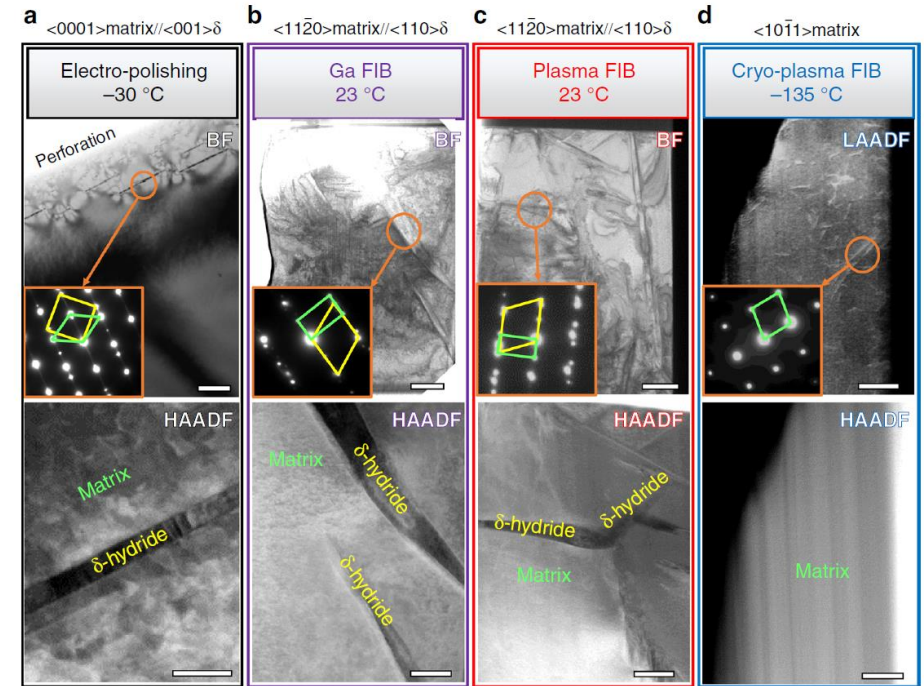
Préparation  $T_{cryo}$



New approach for FIB-preparation of atom probe specimens for aluminum alloys PLOS ONE <https://doi.org/10.1371/journal.pone.0231179> April 2, 2020

# Bénéfice du Cryo FIB-SEM

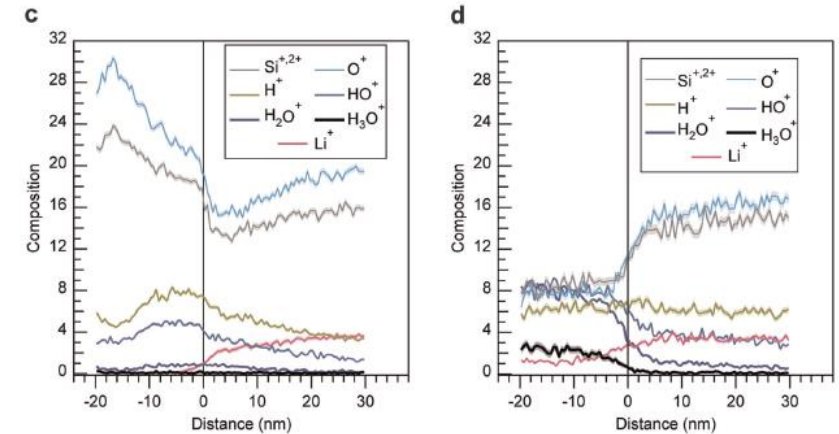
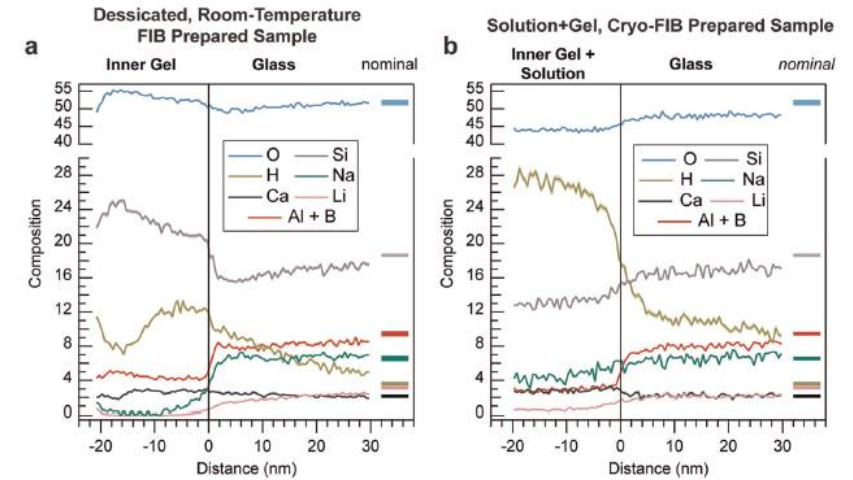
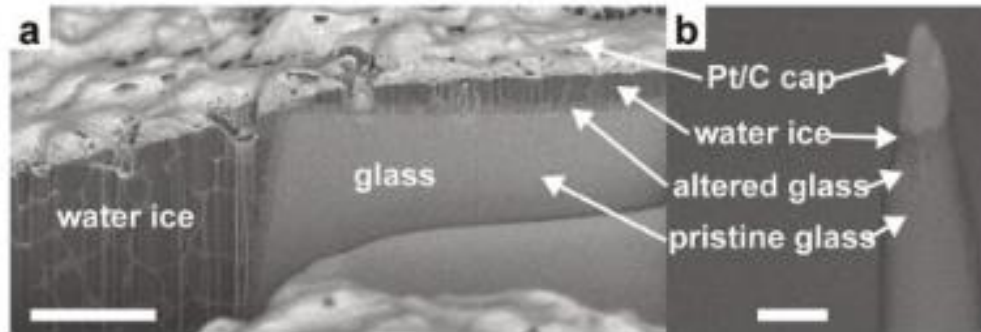
- Indispensable pour les matériaux cryo-fixés
- Réduire l'échauffement local :  
lié à l'utilisation du faisceau d'ions ou d'électrons
- Réduire les artefacts :  
implantation Ga, +H sur Zr et Ti



Ti and its alloys as examples of cryogenic focused ion beam milling of environmentally-sensitive materials NATURE COMMUNICATIONS | (2019) 10:942

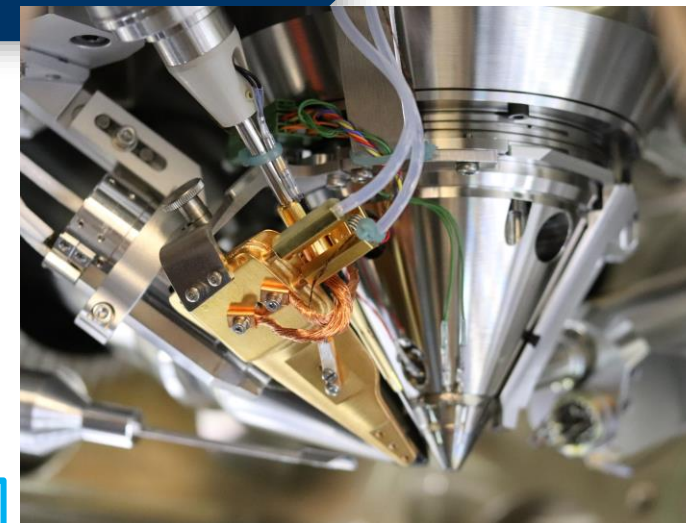
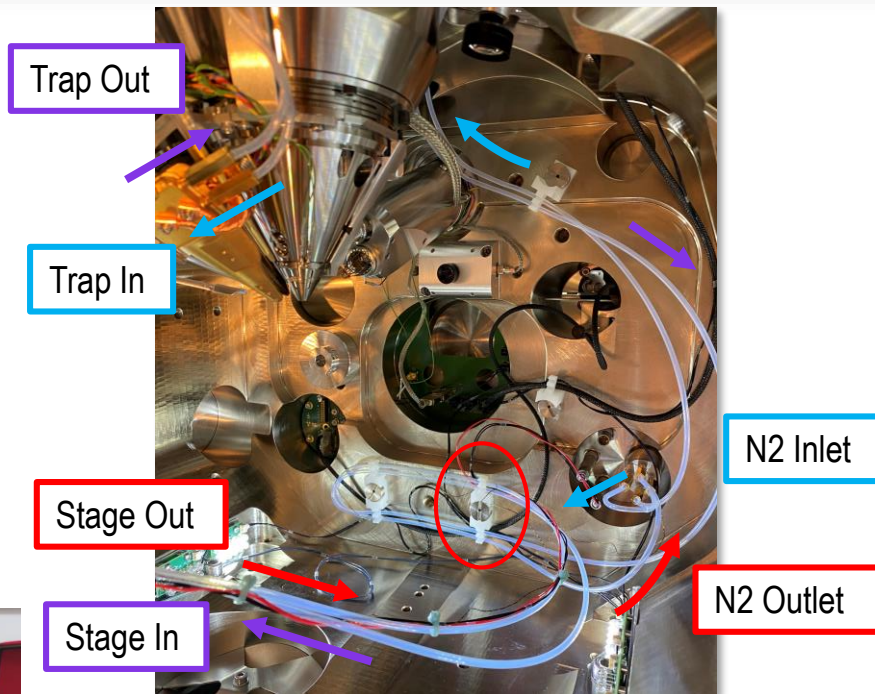
# Bénéfice du Cryo FIB-SEM

- Indispensable pour les matériaux cryo-fixés
- Réduire l'échauffement local :  
lié à l'utilisation du faisceau d'ions ou d'électrons
- Réduire les artefacts :  
implantation Ga, +H sur Zr et Ti
- Stabiliser les éléments mobiles (Li, H,...)

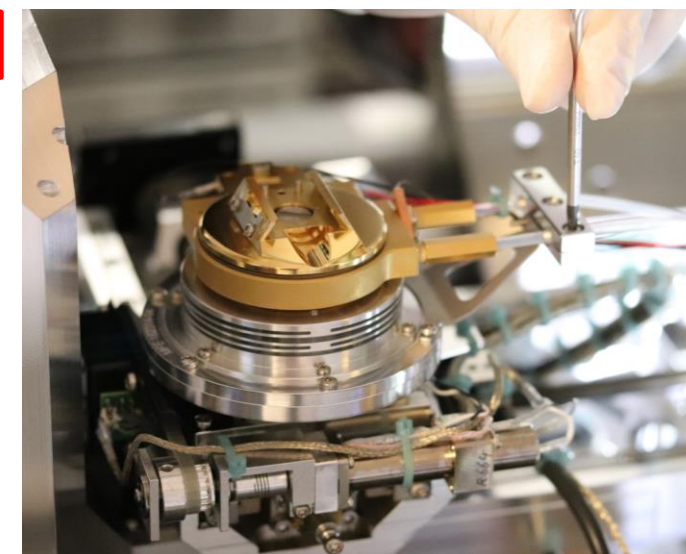


Tomographic mapping of the nanoscale water-filled pore structure in corroded borosilicate glass *Materials Degradation* (2020) 4:8 ; <https://doi.org/10.1038/s41529-020-0110-5>

Production N2 – 5 bars

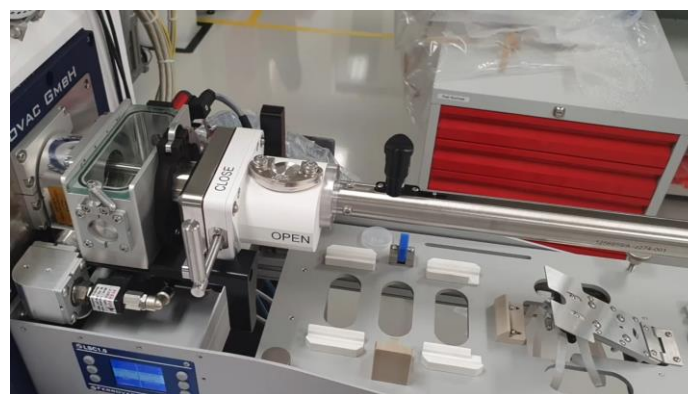


Cold Trap



Cold stage Rot 360°, T + 55° + Heater

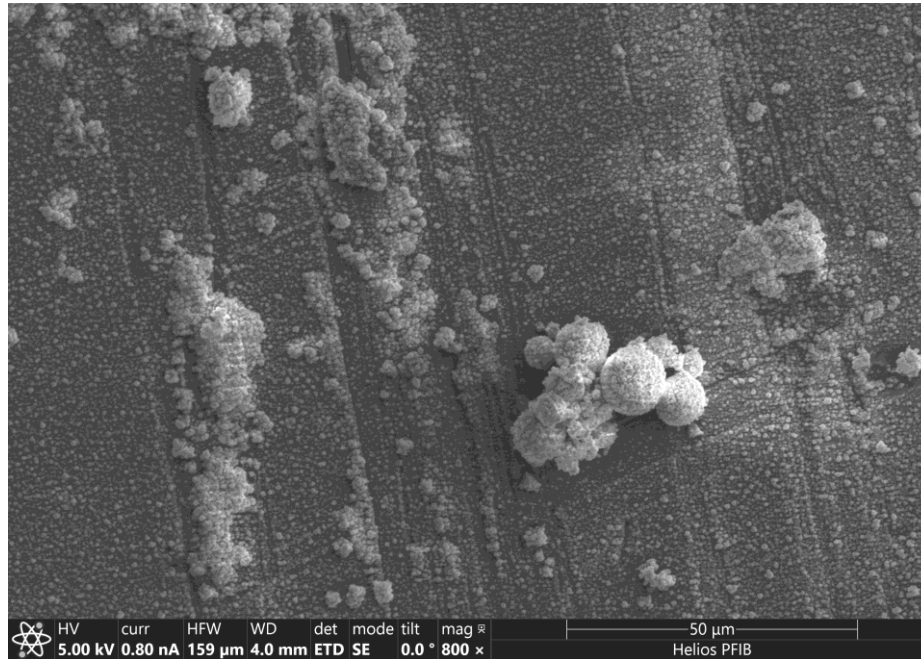
*Aquilos like / IGST transfer rod*



Heat exchanger LN2 dewar

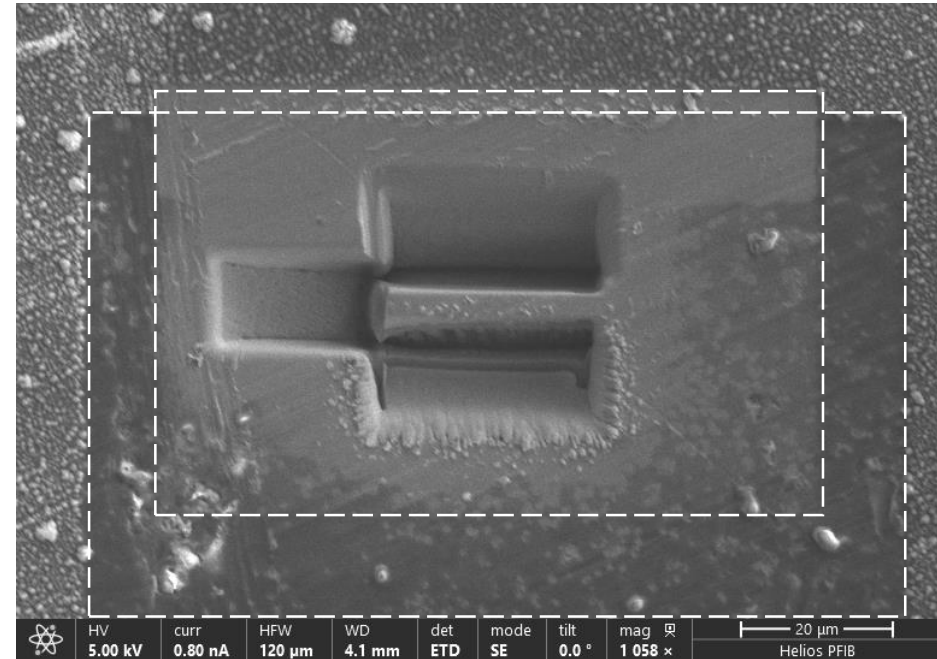


SEM 5 kV 0.8 nA (ETD SE)



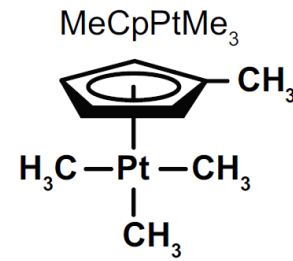
Givre en surface

Préparation Lift-Out @ temp Cryo  
Xenon PFIB : 60 nA – 15 nA – 4 nA  
Tilt stage 52°



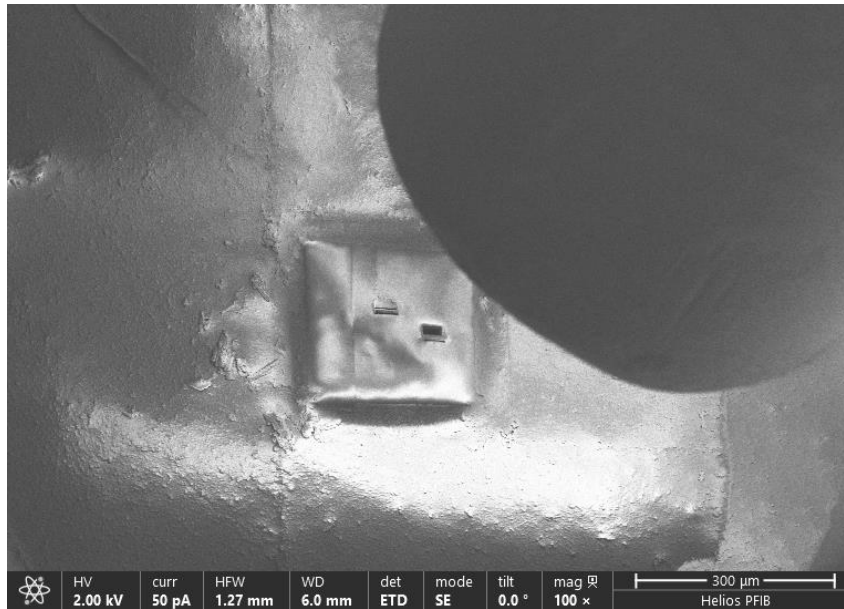
Sublimation du givre sous faisceau ionique

# Uncontrolled deposition of Pt GIS

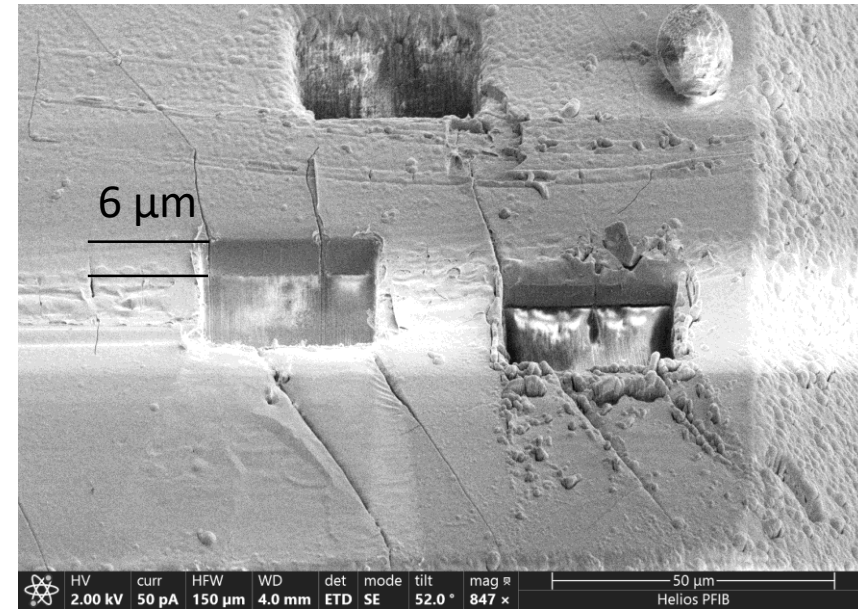


- Faster deposition at cryo temperatures : condensed Pt Layer, the thermal gradient between the deposition gas and the cold specimen surface drives the deposition process,
- **Nozzle – sample distance of several mm (WD 6 mm),**
- For 1 minute deposition time at a GIS temperature of 60°C, 1-μm thicknesses of Pt were achieved,
- Modification of Pt deposit layer using 30kV ion beam rectangular scanning.

Dépôt 3 min - Pt-GIS 2% WD 6 mm

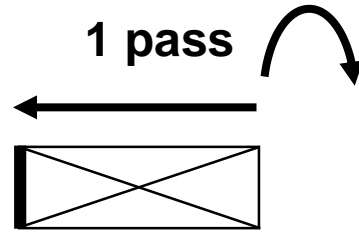


+ Dépôt 3 min = 6 min au total



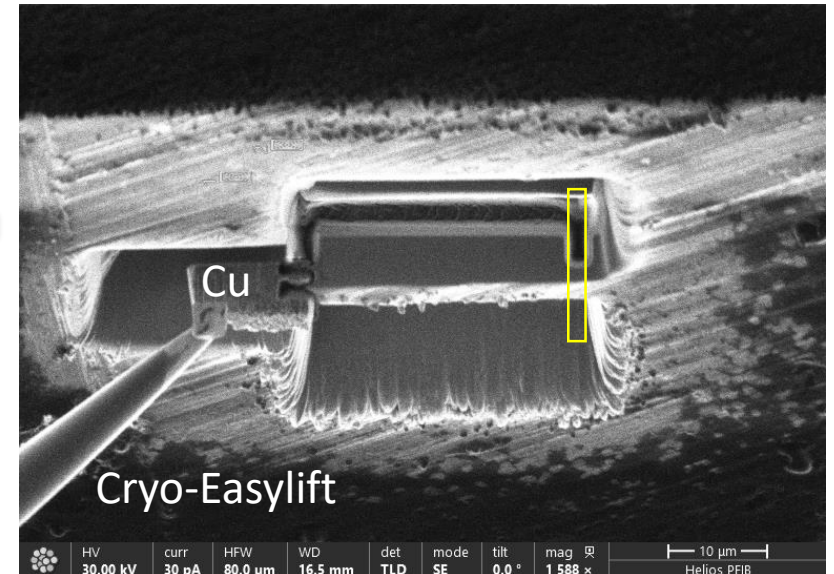
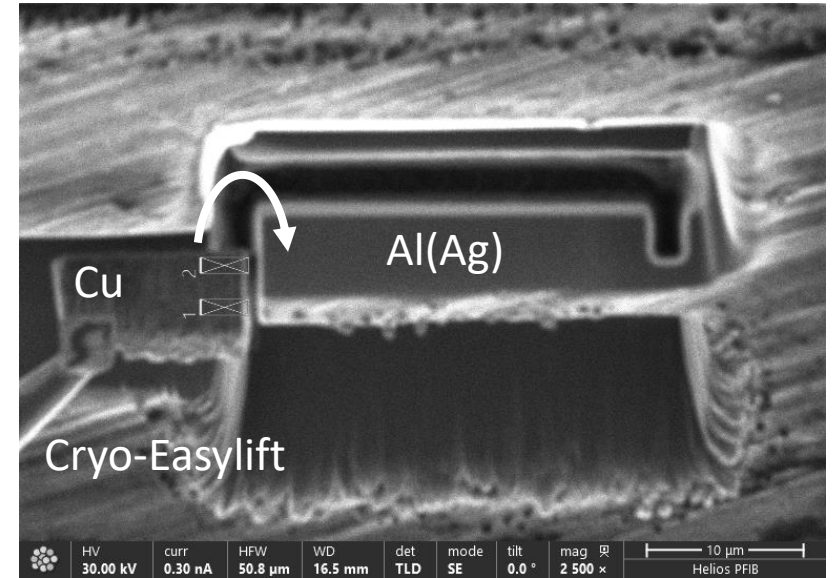
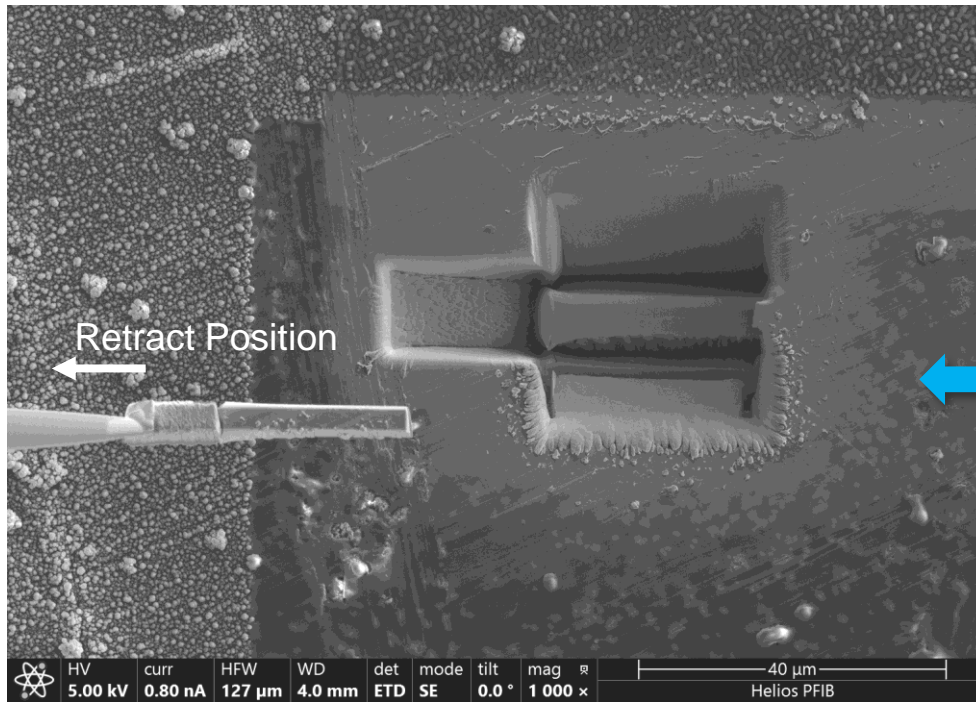
# Procédure de Lift-out : redeposition

Single-pass milled rectangle  
Ion beam redeposition cuts

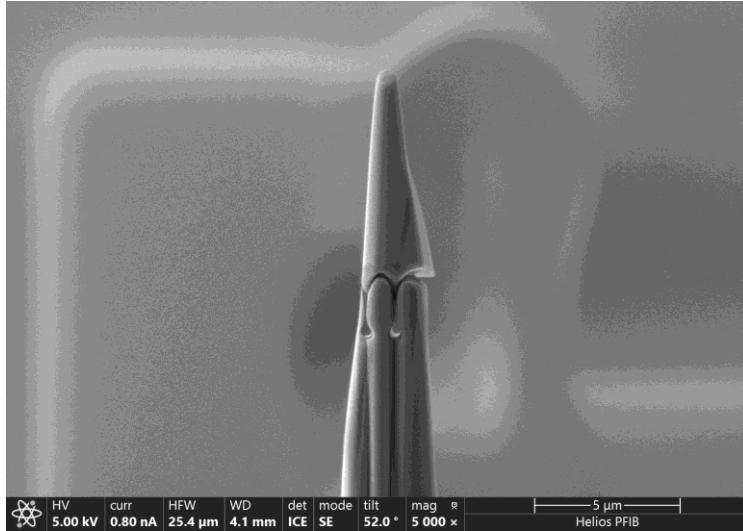


Lift- Out @ cryo temp

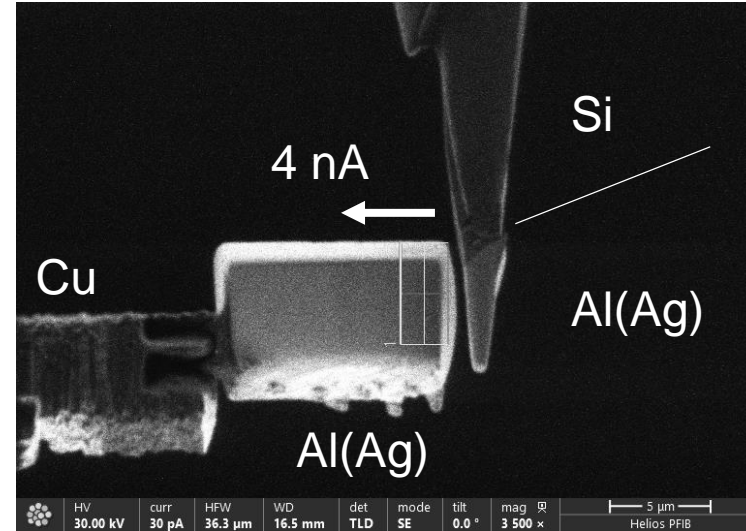
Tilt 0°



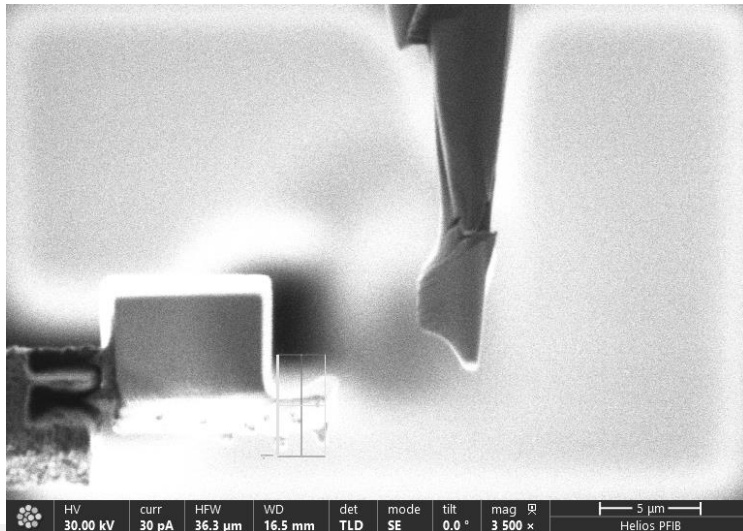
Pré – Annular Milling



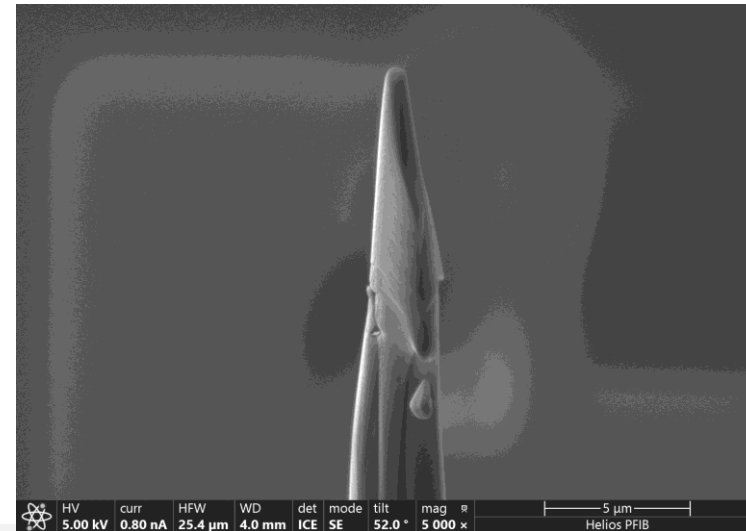
Rotation stage 90° + approche Easylift Cryo



Single-pass milled rectangle @ 4nA

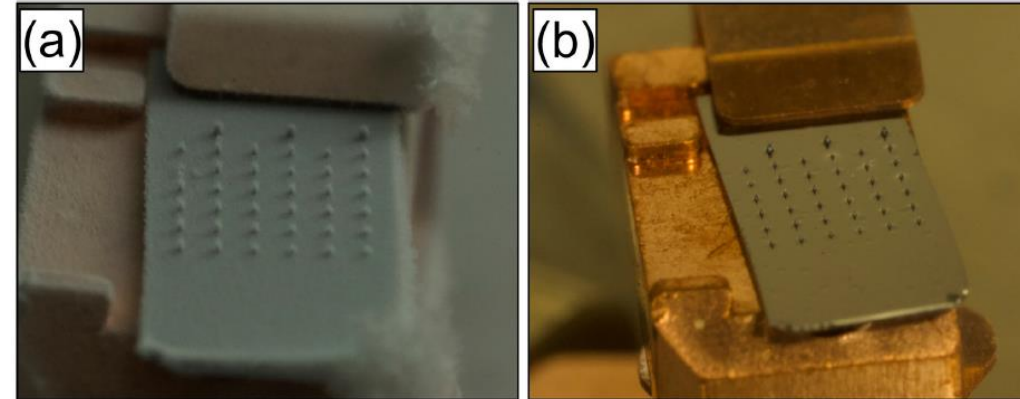


Rotation stage -90° pour amincissement final

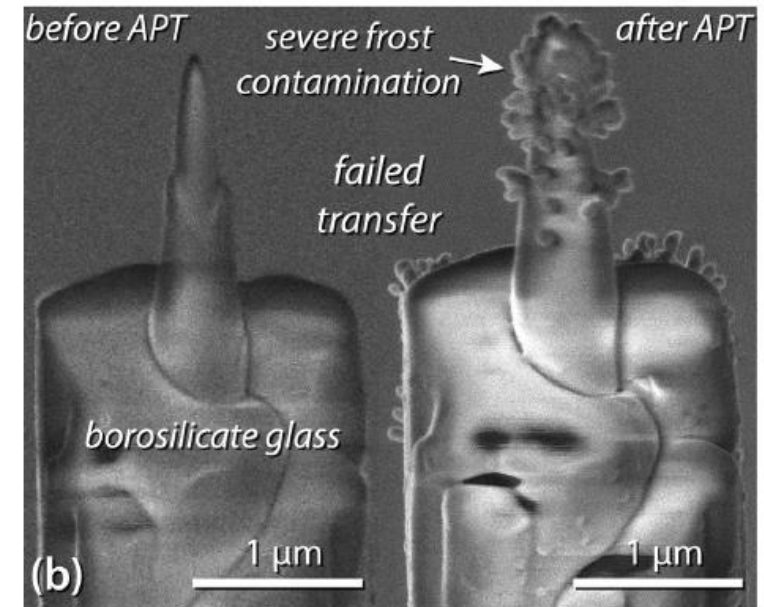


- Keep a dry environment around the sample,
- Maintains high vacuum  $< 10^{-6}$  mbar,
- Maintains  $-160$  °C during transfer,
- Short transfer times into SEM / APT,
- Avoid frost formation !!!

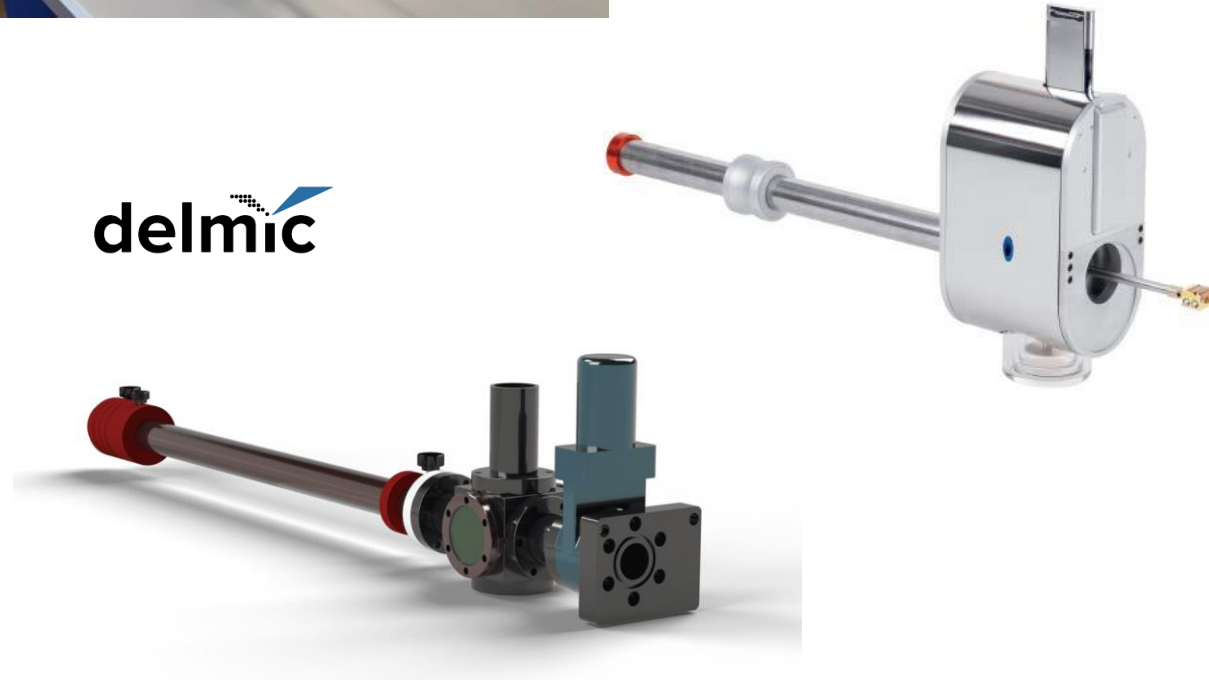
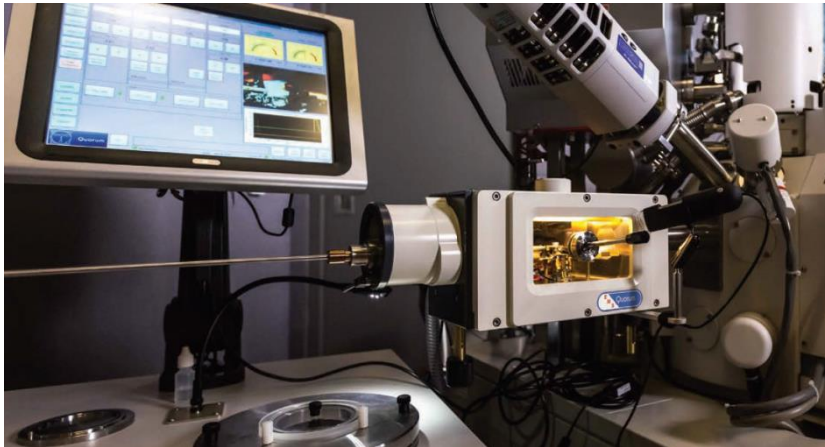
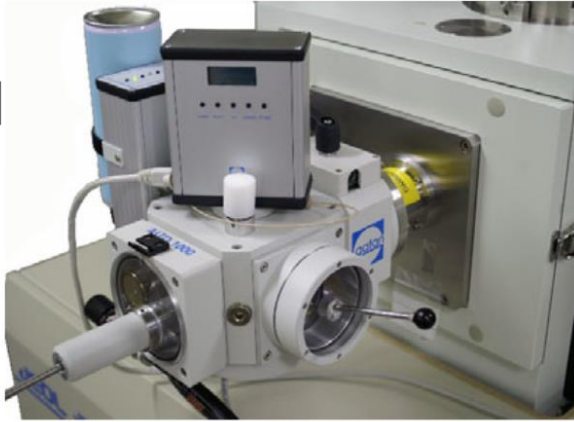
Leigh T. Stephenson et al. PLOS ONE  
<https://doi.org/10.1371/journal.pone.0209211>



PEREA et al. - Ultramicroscopy 194 (2018) 89–99



# Système de transfert



# Procédure de transfert



Préparation Cryo des échantillons  
Valise de transfert connectée au FIB



"Cryo carrier puck (Cu)"  
refroidi @ 30K dans la chambre d'analyse



Atom probe loadlock Chamber

UHV Booster

VCTM Gate Valve

LN2 dewar for suitcase

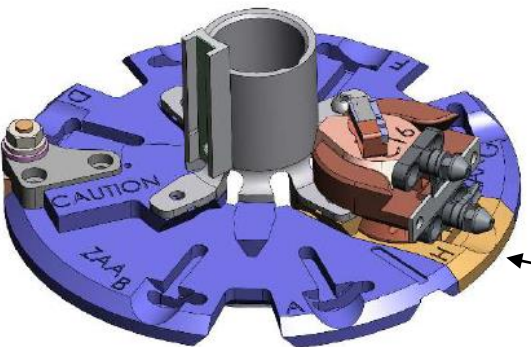
Wobblestick transfer arm

Puck storage chamber

Battery-operated ion pump with NEG

Roughing pump

Cryo carousel



Cryo puck

PEEK



Cryo carrier puck (Cu)

- Quelques pistes de compréhension sur les paramètres qui influencent le comportement d'un matériau sous faisceau d'ions focalisés,
- L'utilisateur dispose d'outils pour découper, graver, usiner, déposer,... et de paramètres tension, courant, dwell time, dose (temps, surface,...), tilt Stage, mode de balayage (redéposition) pour adapter le comportement de chaque matériau sous le faisceau,
- Savoir-faire à acquérir pour chaque "classe" de matériau,
- Un faisceau d'ions endommage toujours l'échantillon : baisser la tension d'accélération, changer la nature de l'ion, réduire l'échauffement,...choisir une autre solution...
- Aujourd'hui, procédures d'alignement du faisceau FIB automatisées et des procédures de préparation d'échantillons (lames minces) "full automated".

